

**150028**

ANKARA ÜNİVERSİTESİ  
FEN BİLİMLERİ ENSTİTÜSÜ

YÜKSEK LİSANS TEZİ

İNCE FILMLERİN KALINLIK VE OPTİKSEL SABİTLERİNİN VE BULUNMASI

**150028**

Mine ERDEM ÖZGÜR

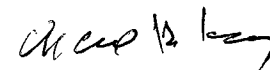
FİZİK MÜHENDİSLİĞİ ANABİLİM DALI

ANKARA  
2004

Her hakkı saklıdır

Prof. Dr. Tülay SERİN danışmanlığında, Mine ERDEM ÖZGÜR tarafından hazırlanan bu çalışma 01/07/2004 tarihinde aşağıdaki jüri tarafından Fizik Mühendisliği Anabilim Dalı'nda yüksek lisans tezi olarak kabul edilmiştir.

Başkan : Prof. Dr. Necati YALÇIN



Üye : Prof. Dr. Tülay SERİN



Üye : Prof. Dr. Bora ALKAN



**Yukarıdaki Sonucu Onaylarım**



Prof. Dr. Metin OLGUN  
Enstitü Müdürü

## ÖZET

### Yüksek Lisans Tezi

### İNCE FİMLERİN OPTİK SABİTLERİNİN VE KALINLIĞININ BELİRLENMESİ

Mine ERDEM ÖZGÜR

Ankara Üniversitesi

Fen Bilimleri Enstitüsü

Fizik Mühendisliği Anabilim Dalı

Danışman: Prof.Dr.Tülay SERİN

Bu çalışmanın amacı ince filmlerin kalınlık, soğurma sabiti, kırılma indisi ve band aralığı enerjisi gibi optikselleşmiş özelliklerini yeni bir yöntem yardımıyla incelemektir. Bu amaçla saf a-Si:H (Hidrojenlendirilmiş amorf silikon) ince filmlerinin, Perkin Elmer UV-VIS Spectrometer Lambda 2S spektrometresinde 600-1100 nm dalga boyu aralığında geçiş spektrumları ölçülmüştür. Bu spektrumlardan ince filmin geçirdiği ışığın geçiş genliği değerleri ölçülerek, ince filmin her dalga boyundaki kırılma indisi değerleri, bu değerler kullanılarak ortalama kalınlığı ve her dalga boyundaki soğurma sabiti değerleri hesaplanmıştır. Daha sonra her dalga boyunda elde edilen soğurma sabitlerinin karesinin enerjiye karşı grafiği çizilerek, bu grafiğinden ince filmin bant aralığı enerji değeri ( $E_g$ ) hesaplanmıştır. a-Si:H ince filmler için  $E_g=1,78$  eV bulunmuştur. Soğurma sabitinin enerjiye karşı yarı logaritmik grafiği çizilerek bu grafiğinden Urbach sabiti ( $E_0$ ) hesaplanmıştır. Aynı zamanda ince filmlerin elektriksel iletkenlikleri  $40^{\circ}\text{C}$  –  $100^{\circ}\text{C}$  aralığında iki nokta yöntemi yardımıyla bulunmuş ve bu değerler kullanılarak örneklerin aktivasyon enerjisi hesaplanmıştır.  $E_a=0,68$  eV bulunmuştur. Saf a-Si:H ince filmin band aralığı enerjisi aktivasyon enerjisini yaklaşık iki katıdır.

2004, 70 sayfa

**ANAHTAR KELİMELER:** İnce Filmler, Amorf Silikon, Kalınlık, Kırılma İndisi, Soğurma Sabiti, Elektriksel İletkenlik, Urbach Sabiti, Elektronik Bant Aralığı

## **ABSTRACT**

### **Master Thesis**

#### **DETERMINATION OF OPTICAL CONSTANTS AND THICKNESS OF THIN FILMS**

Mine ERDEM ÖZGÜR

Ankara University

Graduate School of Natural and Applied Sciences

Department of Engineering Physics

Supervisor: Prof.Dr.Tülay SERİN

The purpose of this thesis is to investigate a new method for determining optical properties of thin films such as thickness, refractive index and absorption coefficients. For this reason, the transmission spectrums of pure a-Si:H thin films were measured between 600-1000 nm wavelength range by using a Perkin Elmer UV-VIS Lambda 2S spectrometer. Using the obtained spectrums, the refractive indexes, the average thickness and the absorption coefficients of thin films were determined for each wavelength by measuring the transmission amplitude of the light that transmit through thin films. After that, the curve of absorption coefficient for each wavelength versus energy was obtained. Using this graph, energy band gap value ( $E_g$ ) for a-Si:H thin film was calculated. The energy band gap value for a-Si:H thin film is  $E_g=1.78$  eV. The logarithmic plot of the absorption coefficient versus energy was drawn and using this graph the Urbach Coefficient ( $E_0$ ) was calculated. In addition, the electrical conductivity of thin films was calculated between range of  $40^0\text{C}-100^0\text{C}$  temperatures by two point method and using these values the activation energy of thin films was determined.  $E_a=0.68$  eV was found. The energy of band gap of a-Si:H thin film is almost two times than activation energy.

**2004, 70 pages**

**Key Words:** Thin Films, Amorphous Silicon, Thickness, Refractive Index, Absorption Coefficient, Electrical Conductivity, Urbach's Constant, Electronical Band Gap

## **TEŞEKKÜR**

Bana bu çalışmada araştırma olanağı sağlayan, çalışmamın her safhasında yakın ilgi ve önerileri ile beni yönlendiren danışman hocam Sayın Prof.Dr.Tülay SERİN'e (Ankara Üniversitesi Mühendislik Fakültesi), çalışmalarımı tamamlarken desteğini gördüğüm şube müdürüm Sayın Dr.Müh.Alb.Nevzat KILINÇ'a (Millî Savunma Bakanlığı Teknik Hizmetler Dairesi Başkanlığı), her türlü desteginden dolayı eşim Sinan ÖZGÜR'e ve aileme teşekkürlerimi sunarım.

Mine ERDEM ÖZGÜR  
Ankara, Temmuz 2004

## İÇİNDEKİLER

ÖZET.....	i
ABSTRACT.....	ii
TEŞEKKÜR.....	iii
SİMGELER DİZİNİ.....	vi
ŞEKİLLER DİZİNİ.....	ix
ÇİZELGELER DİZİNİ.....	xi
<b>1. GİRİŞ.....</b>	<b>1</b>
<b>2. KURAMSAL TEMELLER.....</b>	<b>3</b>
2.1. Düzlem Elektromagnetik Dalgalar ve Dalganın Yayılması.....	3
2.1.1. İletken olmayan Ortamda Düzlem Dalgalar.....	3
2.1.2. Elektromagnetik Dalgalarda Enerji ve Momentum.....	7
2.1.3. Dielektrikler Arasındaki Düzlemsel Arayüzde Elektromagnetik Dalgaların Yansımı ve Kırılması.....	8
2.2. Bir İnce Film Tarafından Işığın Yansıtılması ve Geçirilmesi.....	14
2.3. Bir İnce Filmin Zayıf Soğurum Bölgesinde Optik Sabitlerinin Belirlenmesi.....	18
2.4. İnce Filmlerde Elektriksel İletkenlik.....	25
<b>3. MATERİYAL VE YÖNTEM.....</b>	<b>26</b>
3.1. Amorf Silikonun Optik Sabitlerinin ve Kalınlığının Belirlenmesi.....	26
3.2. Sonsuz Saydam Tabaka Yaklaşımı.....	33
3.3. İnce Filmlerin İletkenliklerinin Belirlenmesi ve İletkenliğin sıcaklığın Değişimi.....	34
<b>4. ARAŞTIRMA BULGULARI VE TARTIŞMA.....</b>	<b>36</b>
4.1. Giriş.....	36
4.2. Filmin Kırılma İndisinin ve Kalınlığının Belirlenmesi.....	36

4.3.	Soğurma Sabitinin Belirlenmesi.....	52
4.4.	İletkenliğin Belirlenmesi.....	59
4.5.	Urbah Sabiti $E_0$ 'ın Tanımlanması.....	63
5.	<b>SONUÇ.....</b>	65
	<b>KAYNAKLAR.....</b>	66
	<b>EKLER.....</b>	67
	<b>EK 1.....</b>	67
	<b>EK 2.....</b>	68
	<b>EK 3.....</b>	69
	<b>ÖZGEÇMİŞ.....</b>	70

## SİMGELER DİZİNİ

A	Amper
B	Magnetik alan
c	Işık hızı
cm	Santimetre
d	Film kalınlığı
D	Dielektrik ortamda elektrik alan
e	Elektron yükü
E	Elektrik Alan
$E_a$	Aktivasyon enerjisi
$E_g$	Enerji aralığı
$E_0$	Urbah sabiti
$E_V$	Elektron volt
h	Plank sabiti
H	Dielektrik ortamda magnetik alan
i	Gelme açısı
I	Akım
I	Şiddet
J	Elektriksel akım yoğunluğu
k	Sönüm sabiti
k	Boltzman sabiti
$\vec{k}$	Dalga vektörü
K	Kelvin
L	Filmin boyu

$\text{meV}$	Milielektronvolt
$n$	Kırılma indisı
$\hat{n}$	Kutuplanma vektörü
$q$	Elektrik yükü
$r$	Kırılma açısı
$r, t$	Fresnel Sabiti (Yansıma, geçme katsayısı)
$R$	Direnç
$R$	Yansıyan ışığın genliği
$R^2$	Doğruluk
$s$	Saniye
$S$	Poynting vektörü
$T$	Geçen ışığın genliği
$u$	Enerji
$V$	Gerilim
$\omega$	Frekans
$\omega$	Filmin eni
$\alpha$	Soğurma sabiti
$\pi$	Pi sayısı
$\lambda$	Dalga boyu
$\epsilon$	Dielektrik sabiti
$\mu$	Magnetik geçirgenlik
$\mu$	Mobilite
$v$	Elektronun hızı
$\Omega$	Ohm

$\rho$	Özdirenç
$\rho$	Momentum yoğunluğu
$\sigma$	İletkenlik
$\mu\text{m}$	Mikrometre
$^{\circ}\text{C}$	Santigrat derece

## ŞEKİLLER DİZİNİ

Şekil 2.1.	Tek renkli bir düzlem dalganın gösterimi.....	5
Şekil 2.2.	$\vec{k}$ yayılma vektörünün gösterimi.....	6
Şekil 2.3.	Gelen $\vec{k}$ dalgasının farklı ortamlar arasındaki düzlemsel arayüzdeki gösterimi.....	9
Şekil 2.4.	Geliş düzleme dik kutuplanma durumunda yansımaya ve kırılma.....	11
Şekil 2.5.	$n_0$ kırılma indisli ortamdan gelerek, belli bir kalınlıktaki $n_1$ kırılma indisli ortamdan $n_2$ kırılma indisli ortama geçen ışığın çoklu yansımaya ve geçme durumları.....	15
Şekil 2.6.	Tek tabaklı bir ince film tarafından ışığın yansıtılması ve geçirilmesi.....	18
Şekil 2.7.	Bir ince film sistemi için tipik geçiş spektrumu.....	21
Şekil 3.1.	Belli kalınlıkta cam tabaka üzerindeki ince film sistemi.....	26
Şekil 3.2.	Belli kalınlıktaki cam tabaka üzerine kaplanan ince film spektrumu.....	27
Şekil 3.3.	Sonlu saydam taban durumu ile sonsuz saydam taban durumunun karşılaştırılması.....	34
Şekil 4.1.	Cam alt tabakanın spektrumu.....	37
Şekil 4.2.	MK-30 spektrumu.....	38
Şekil 4.3.	MK-36 spektrumu.....	39
Şekil 4.4.	MK-37 spektrumu.....	40
Şekil 4.5.	MK-30 için $n_2 - 1/\lambda^2$ grafiği.....	44
Şekil 4.6.	Çizelge 4.1.'deki $n_1$ ve $\lambda$ değerleri için Denk.4.4'ün grafiği.....	45
Şekil 4.7.	MK-36 için $n_2 - 1/\lambda^2$ grafiği.....	47
Şekil 4.8.	Çizelge 4.3.'deki $n_1$ ve $\lambda$ değerleri için Denk.4.4'ün grafiği.....	48
Şekil 4.9.	MK-37 için $n_2 - 1/\lambda^2$ grafiği.....	50
Şekil 4.10.	Çizelge 4.5.'deki $n_1$ ve $\lambda$ değerleri için Denk.4.4'ün grafiğidir.....	51
Şekil 4.11.	Çizelge 4.10'daki $\alpha_{T_M}$ ve E değerleri için $h\gamma - \alpha^2$ grafiği.....	56

Şekil 4.12.	Çizelge 4.11'deki $\alpha_{T_0}$ ve E değerleri için $h\gamma - \alpha^2$ grafiği.....	57
Şekil 4.13.	Çizelge 4.12'deki $\alpha_{T_0}$ ve E değerleri için $h\gamma - \alpha^2$ grafiği.....	58
Şekil 4.14.	Sıcaklık-akım ölçüm düzeneği.....	60
Şekil 4.15.	MK-30 için $\ln\sigma-1/T$ grafiği.....	61
Şekil 4.16.	MK-37 için $\ln\sigma-1/T$ grafiği.....	62
Şekil 4.17.	MK-30 için $\ln\alpha-hv$ grafiği.....	63
Şekil 4.18.	MK-36 için $\ln\alpha-hv$ grafiği.....	64
Şekil 4.19.	MK-37 için $\ln\alpha-hv$ grafiği.....	64

## ÇİZELGELER DİZİNİ

Çizelge 4.1.	Şekil 4.2'deki spektrum (MK30) için $\lambda$ , $T_M$ ve $T_m$ değerlerinden n ve d'nin hesaplanması.....	41
Çizelge 4.2.	MK-30 için $T_M$ ve $T_m$ değerleri.....	43
Çizelge 4.3.	Şekil 4.3'deki spektrum (MK36) için $\lambda$ , $T_M$ ve $T_m$ değerlerinden n ve d'nin hesaplanması.....	46
Çizelge 4.4.	MK-36 için $T_M$ ve $T_m$ değerleri.....	47
Çizelge 4.5.	Şekil 4.4'deki spektrum (MK37) için $\lambda$ , $T_M$ ve $T_m$ değerlerinden n ve d'nin hesaplanması.....	48
Çizelge 4.6.	MK-37 için $T_M$ ve $T_m$ değerleri.....	50
Çizelge 4.7.	MK-30 için soğurma katsayısı ( $\alpha$ ) değerleri.....	52
Çizelge 4.8.	MK-36 için soğurma katsayısı ( $\alpha$ ) değerleri.....	53
Çizelge 4.9.	MK-37 için soğurma katsayısı ( $\alpha$ ) değerleri.....	54
Çizelge 4.10.	MK-30 için enerji ( $h_y$ )-soğurma katsayısı ( $\alpha$ ) değerleri.....	55
Çizelge 4.11.	MK-36 için enerji ( $h_y$ )-soğurma katsayısı ( $\alpha$ ) değerleri.....	56
Çizelge 4.12.	MK-37 için enerji ( $h_y$ )-soğurma katsayısı ( $\alpha$ ) değerleri.....	57
Çizelge 4.13.	MK-30 için iletkenlik ölçümleri.....	61
Çizelge 4.14.	MK-37 için iletkenlik ölçümleri.....	62

## 1. GİRİŞ

İnce filmlerin öneminin artması nedeniyle, film kalınlığı ve optiksel sabitlerin belirlenmesi gereksinimi doğmuş ve bu konuda yöntem geliştirilmesine çalışılmıştır.

Film kalınlığı ölçümünde bu güne kadar uygulanan yöntemler, filmin kırılma indisi bilgisinin gerektiğini ortaya koymuştur. Bu her iki niceliğin (film kalınlığı ve film kırılma indisi) bağımsız olarak belirlenmesini mümkün kıلان yeni geliştirilmiş yöntemler; ince film, büyük hacimdeki malzeme ile aynı özelliklere sahip olduğunu kabul eder.

Filmin optik sabitlerinin belirlenmesinde en büyük zorluklar soğurumu yüksek malzeme ile üretilen filmlerde ortaya çıkar. Benzer filmlerin optik sabitlerinin açık olarak belirlenmesi sadece; filmin her iki tarafından yansyan ve geçen ışık demetinin faz ve genlik ölçümlerinin yapılması ile mümkündür. Bu ölçüleri yüksek doğrulukla yapmak zordur.

Benzer uyuşmazlıklar kısmen uygun olmayan ölçüm yöntemlerinin kullanımasından, kısmen de filmlerin optik sabitlerinin, filmin hazırlanma koşullarına bağlı olarak değişmesinden kaynaklanır.

Bu çalışmada hidrojenlendirilmiş amorf silikon (a-Si:H) ince filmlerin optik sabitleri belirlenmiştir. Amorf silikon önemli bir fotovoltaik malzemedir. Bu aygıtlar kalınlığı yaklaşık 1  $\mu\text{m}$  olan ince filmlerden oluşur. Bu ince filmlerin kırılma indisi, kalınlığı ve soğurma sabiti gibi optik sabitlerini dalga boyunun bir fonksiyonu olarak elde edebilmek, malzemenin fotovoltaik davranışını belirlemekte oldukça önemlidir. Bu optik sabitlerin belirlenmesi amorf silikonun teorik modelini belirlemek için de gereklidir. (Clark 1980) Filmlerin kalınlığı, yüzey profili stili ya da çeşitli interferometrik yöntemler kullanılarak belirlenebilir. (Bennet and Bennet 1967) Kırılma indisi ve soğurma sabiti genellikle, yansımaya ve geçiş spektrumlarının her ikisini de kullanan özel bilgisayar iterasyon yöntemleri ile belirlenebilir. (Lyashenko et al 1964, Wales et al 1967, Szczyrbowski et al 1977) Kırılma indisi ve soğurma sabitinin hesaplanması için basit ve yalın bir yöntem de Manifacier tarafından önerilmiştir. (Manifacier et al 1976) Bu yöntemi kullanarak, R.Swanepol (1983) amorf silikonun .

A.M. Salem CdGa<sub>2</sub>Se<sub>4</sub> ince filmlerinin (2003) ve A.A. Dakhel buharlaştırılmış Zn-Eu oksit filmelerin (2002) optik sabitlerini belirlemiştir.

Aynı yöntemle bu çalışmada da ince filmlerin optik sabitleri bulunmuştur. Yöntemde sadece geçiş spektrumunu kullanmak yeterli olmaktadır. İnce filmlerin geçiş spektrumları Perkin Elmer UV-VIS Spectrometer Lambda 2S spektrometresinde ölçülmüştür. Manifacier'in kullandığı yöntemin iki üstünlüğü vardır: Hesaplamlar elle yapılabilmekte ve optik sabitlere yönelik kesin sonuçlar elde edilebilmektedir.

Bu çalışmada ayrıca dalga boyuna bağlı olarak elde edilen soğurma sabitinin karesinin enerjiye karşı grafiği çizilerek ince filmlerin yasak band aralık değeri elde edilmiştir. (S.Varghese, M.Iype, E.J.Mathew, C.S.Menon 2002; D.S.Bhavsar, K.B.Saraf 2002)

Filmlerin elektriksel iletkenliğinin sıcaklıkla değişimi 40 °C-100 °C sıcaklık aralığında incelenmiştir.  $\ln\sigma-1/T$  grafiğinin eğiminden ince filmlerin aktivasyon enerjileri hesaplanmıştır. (Y.Natsuma, H.Sakata, 2000)

## 2. KURAMSAL TEMELLER

### 2.1. Düzlem Elektromagnetik Dalgalar ve Dalganın Yayılması

#### 2.1.1. İletken Olmayan Ortamda Düzlem Dalgalar

Elektromagnetik alanın sağladığı Maxwell denklemlerinin temel özelliği, bir noktadan diğerine enerji taşımاسını gösteren ilerleyen dalga çözümlerine sahip oluşudur. En basit ve en temel elektromagnetik dalgalar enine düzlem dalgalarıdır.

Madde içinde, serbest bir yükün veya akımın bulunduğu bölgelerde Maxwell denklemleri aşağıdaki gibidir:

$$\begin{array}{ll} \text{i) } \vec{\nabla} \cdot \vec{E} = 0 \text{ (Gauss Yasası)} & \text{iii) } \vec{\nabla} \times \vec{E} + \frac{\partial \vec{B}}{\partial t} = 0 \text{ (Faraday Yasası)} \\ \text{ii) } \vec{\nabla} \cdot \vec{B} = 0 & \text{iv) } \vec{\nabla} \times \vec{B} - \mu_0 \epsilon_0 \frac{\partial \vec{E}}{\partial t} = 0 \text{ (Amper Yasası)} \end{array} \quad (2.1)$$

Burada  $\mu_0$  serbest uzayın magnetik geçirgenliği ( $\mu_0 = 4\pi \times 10^{-7} N / A^2 (Ns^2 / C^2)$ ),  $\epsilon_0$  serbest uzayın dielektrik sabitidir ( $\epsilon_0 = 8,85 \times 10^{-12} C^2 / Nm^2$ ) ve frekanstan bağımsızdır.

(iii) ve (iv) denklemlerinin her iki tarafının rotasyoneli alınarak,  $\vec{\nabla} \cdot \vec{E} = \vec{\nabla} \cdot \vec{B} = 0$  olduğundan, bu denklemler kolayca ayırtılabilir:

$$\begin{aligned} \vec{\nabla} \times (\vec{\nabla} \times \vec{E}) &= \vec{\nabla} \cdot (\vec{\nabla} \cdot \vec{E}) - \vec{\nabla}^2 \vec{E} = \vec{\nabla} \times \left( -\frac{\partial \vec{B}}{\partial t} \right) \\ \vec{\nabla}^2 \vec{E} &= \frac{\partial}{\partial t} (\vec{\nabla} \times \vec{B}) \\ \vec{\nabla}^2 \vec{E} &= \frac{\partial}{\partial t} \left( \mu_0 \epsilon_0 \frac{\partial \vec{E}}{\partial t} \right) \\ \vec{\nabla}^2 \vec{E} - \mu_0 \epsilon_0 \frac{\partial^2 \vec{E}}{\partial t^2} &= 0 \\ \vec{\nabla}^2 \vec{E} - \frac{1}{\left( \frac{1}{\sqrt{\mu_0 \epsilon_0}} \right)^2} \frac{\partial^2 \vec{E}}{\partial t^2} &= 0 \end{aligned} \quad (2.2)$$

Aynı şekilde;

$$\begin{aligned}
\vec{\nabla} \times (\vec{\nabla} \times \vec{B}) &= \vec{\nabla} \cdot (\vec{\nabla} \cdot \vec{B}) - \vec{\nabla}^2 \vec{B} = \vec{\nabla} \times \left( \frac{\partial \vec{E}}{\partial t} \right) \\
\vec{\nabla}^2 \vec{B} &= \frac{\partial}{\partial t} (\vec{\nabla} \times \vec{E}) \\
\vec{\nabla}^2 \vec{B} &= \frac{\partial}{\partial t} (\mu_0 \epsilon_0 \frac{\partial \vec{B}}{\partial t}) \\
\vec{\nabla}^2 \vec{B} - \mu_0 \epsilon_0 \frac{\partial^2 \vec{B}}{\partial t^2} &= 0 \\
\vec{\nabla}^2 \vec{B} - \frac{1}{\left( \frac{1}{\sqrt{\mu_0 \epsilon_0}} \right)^2} \frac{\partial^2 \vec{B}}{\partial t^2} &= 0
\end{aligned} \tag{2.3}$$

$\vec{E}$  ve  $\vec{B}$ 'nin her bir kartezyen bileşeni üç boyutlu dalga denklemini sağlar:

$$\nabla^2 u - \frac{1}{v^2} \frac{\partial^2 u}{\partial t^2} = 0 \tag{2.4}$$

Burada

$$v = \frac{1}{\sqrt{\mu_0 \epsilon_0}} = \frac{1}{\sqrt{4\pi \times 10^{-7} Ns^2 / C^2 \cdot 8,85 \times 10^{-12} C^2 / Nm^2}} \cong 3,00 \times 10^8 m/s \tag{2.5}$$

ortamın karakteristiği olan hız boyutunda bir sabittir.

Dalga denklemi düzlem dalga çözümlerine sahiptir:

$$u = e^{ikz - i\omega t} \tag{2.6}$$

Buradaki  $\omega$  frekansı ile  $\vec{k}$  dalga vektörünün büyüklüğü arasında

$$k = \frac{\omega}{v} = \frac{\omega}{c} = \sqrt{\mu_0 \epsilon_0} \omega \tag{2.7}$$

bağıntısı vardır.

Yalnızca bir yönde, örneğin z-yönünde ilerleyen dalgalar ele alınırsa, temel çözüm şudur:

$$u(z, t) = A e^{ikz - i\omega t} + B e^{-ikz - i\omega t} \tag{2.8}$$

Yayılma doğrultusuna dik her bir düzlem üzerinde alanların düzgün olmasından dolayı bunlara düzlem dalgalar denir. Bu çözüm Denk.2.7 kullanılarak,  $u_k(z, t) = A e^{ik(z-vt)} + B e^{-ik(z+vt)}$  biçiminde yazılabilir.

O halde  $\vec{E}(z,t) = E_0 e^{i(kz-\omega t)}$  ve  $\vec{B}(z,t) = B_0 e^{i(kz-\omega t)}$  biçimindeki alanlar ile ilgilenildiğine göre, burada  $E_0$ ,  $B_0$  genliklerdir ve  $\vec{E}$ ,  $\vec{B}$ 'nin gerçek kısımlarıdır.

$\vec{E}, \vec{B}$  için dalga denklemleri (Denk.2.2, 2.3) Maxwell denklemlerinden türetilmiştir. Ancak Maxwell denklemlerinin serbest uzaydaki her çözümü dalga denklemine uymak zorunda olsa da, bunun tersi doğru değildir. Maxwell denklemleri  $E_0$ ,  $B_0$  üzerine fazladan sınırlamalar getirir. Özellikle  $\vec{\nabla} \cdot \vec{E} = \vec{\nabla} \cdot \vec{B} = 0$  olduğundan  $(E_0)_z = (B_0)_z = 0$  sonucu ortaya çıkar. Yani elektromagnetik dalgalar eninedir; elektrik ve magnetik alanlar yayılma doğrultusuna diktir. Bunun dışında,  $\vec{\nabla} \times \vec{E} = -\frac{\partial \vec{B}}{\partial t}$  (Faraday Yasası) elektrik ve magnetik genlikler arasında bir bağıntı çağrıştırır:

$$-k(E_0)_y = \omega(B_0)_x, k(E_0)_x = \omega(B_0)_y \quad (2.9)$$

veya daha kısa olarak,

$$B_0 = \frac{k}{\omega} (\hat{z} \times E_0) \quad (2.10)$$

Açıkça,  $\vec{E}, \vec{B}$  aynı fazlı ve karşılıklı olarak diktir; onların genlikleri şu bağıntıyla birbirlerine bağlıdır:

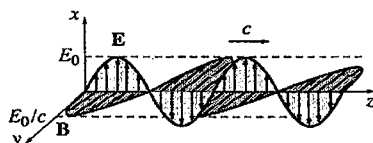
$$B_0 = \frac{k}{\omega} E_0 = \frac{1}{c} E_0 \quad (2.11)$$

O halde  $\vec{E}$  x yönünde yönelmişse,  $\vec{B}$ 'de y yönünde yönelmiştir. (Denk.2.10)

$$\vec{E}(z,t) = E_0 e^{i(kz-\omega t)} \hat{x}, \vec{B}(z,t) = B_0 e^{i(kz-\omega t)} \hat{y} = \frac{1}{c} E_0 e^{i(kz-\omega t)} \hat{y}$$

veya (gerçek kısmını alarak),

$$\vec{E}(z,t) = E_0 \cos(kz - \omega t) \hat{x}, \vec{B}(z,t) = \frac{1}{c} E_0 \cos(kz - \omega t) \hat{y} \quad (2.12)$$

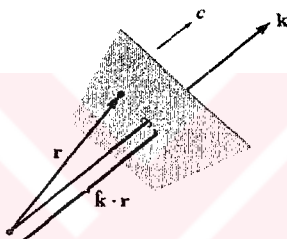


Şekil 2.1. Tek renkli bir düzlem dalganın gösterimi.

Elbette z yönü ile ilgili özel bir şey yoktur, keyfi bir yönde ilerleyen düzlem dalgadır. Yayılma yönünde yönelmiş ve büyülüklüğü k dalga sayısına eşit olan  $\vec{k}$  yayılma (veya dalga) vektörünün ortaya konulmasıyla gösterim sağlanmış olur. (Bkz.Şekil 2.2) Skaler çarpım  $\vec{k} \cdot \vec{r}$ , kz'nin uygun genelleştirmesidir.

$$\begin{aligned}\vec{E}(\vec{r}, t) &= E_0 e^{i(\vec{k} \cdot \vec{r} - \omega t)} \hat{n}, \\ \vec{B}(\vec{r}, t) &= \frac{1}{c} E_0 e^{i(\vec{k} \cdot \vec{r} - \omega t)} (\hat{k} \times \hat{n}) = \frac{1}{c} \hat{k} \times \vec{E}\end{aligned}\quad (2.13)$$

Burada  $\hat{n}$  kutuplanma vektöridür.  $\vec{E}$  enine olduğundan  $\hat{n} \cdot \hat{k} = 0$  dır.



Şekil 2.2.  $\vec{k}$  yayılma vektörünün gösterimi.

Yayılma vektörü  $\vec{k}$  ve kutuplanması  $\hat{n}$  olan bir düzlem dalganın gerçek elektrik ve magnetik alanları şöyle verilir:

$$\begin{aligned}\vec{E}(\vec{r}, t) &= E_0 \cos(\vec{k} \cdot \vec{r} - \omega t) \hat{n} \\ \vec{B}(\vec{r}, t) &= \frac{1}{c} E_0 \cos(\vec{k} \cdot \vec{r} - \omega t) (\hat{k} \times \hat{n})\end{aligned}\quad (2.14)$$

Maxwell denklemlerinin dördüncüsü,  $\vec{\nabla} \times \vec{B} = \frac{\mu \epsilon}{c} \frac{\partial \vec{E}}{\partial t}$  bağımsız bir koşul vermez; o basitçe Denk.2.11'i yeniden oluşturur.

### 2.1.2 Elektromagnetik Dalgalarda Enerji ve Momentum

Elektromagnetik alanlarda birim hacim başına depolanan enerji,

$$u = \frac{1}{2}(\epsilon_0 E^2 + \frac{1}{\mu_0} B^2) \quad (2.15)$$

olarak verilir. İletken olmayan bir ortamındaki düzlem dalga için, Denk.2.11'in karesini alıp Denk.2.15'te yerine koyarsak,

$$B^2 = \frac{1}{c^2} E^2 = \mu_0 \epsilon_0 E^2 \quad (2.16)$$

$$\Rightarrow u = \frac{1}{2}(\epsilon_0 E^2 + \frac{1}{\mu_0} \mu_0 \epsilon_0 E^2) = \epsilon_0 E^2 = \epsilon_0 E_0^2 \cos^2(kz - \omega t) \quad (2.17)$$

olarak elde edilir. Dalga ilerledikçe, bu enerjiyi kendisiyle birlikte taşır. Alanlar tarafından taşınan enerji akısı yoğunluğu (birim alandan, birim zamanda geçen enerji) Poynting vektörü ile verilir:

$$\bar{S} = \frac{1}{\mu_0} (\vec{E} \times \vec{B}) \quad (2.18)$$

$z$  yönünde yayılan düzlem dalgalar için, poynting vektörü, Denk.2.12 kullanılarak,

$$\bar{S} = c \epsilon_0 E_0^2 \cos^2(kz - \omega t) \hat{z} \quad (2.19)$$

olarak elde edilir.

Elektromagnetik dalgalar, yalnızca enerji taşımaz aynı zamanda momentum taşırlar. Alanlarda depolanan momentum yoğunluğu,

$$\rho = \frac{1}{c^2} \bar{S} \quad (2.20)$$

olarak verilir.  $z$  yönünde yayılan düzlem dalgalar için, momentum yoğunluğu. Denk.2.12 kullanılarak,

$$\rho = \frac{1}{c} \epsilon_0 E_0^2 \cos^2(kz - \omega t) \hat{z} \quad (2.21)$$

olarak elde edilir.

Bir elektromagnetik dalga tarafından birim alanda taşınan ortalama güce şiddet adı verilir:

$$I = \langle S \rangle = \left\langle c \epsilon_0 E_0^2 \cos^2(kz - \omega t) \hat{z} \right\rangle = c \epsilon_0 E_0^2 \left\langle \cos^2(kz - \omega t) \hat{z} \right\rangle = \frac{1}{2} c \epsilon_0 E_0^2 \quad (2.22)$$

Burada  $\langle \rangle$  şeklindeki parantez tam bir devir üzerinden alınan zaman ortalamasını göstermek için kullanılır.

### 2.1.3 Dielektrikler Arasındaki Düzlemsel Arayüzde Elektromagnetik Dalgaların Yansımı ve Kırılması

Kaynakların yokluğu halinde, sonsuz genişlikteki ortamda Maxwell denklemleri şöyledir:

$$\begin{array}{ll} \text{i)} \bar{\nabla} \cdot \bar{D} = 0 & \text{iii)} \bar{\nabla} \times \bar{E} = -\frac{1}{c} \frac{\partial \bar{B}}{\partial t} \\ \text{ii)} \bar{\nabla} \cdot \bar{B} = 0 & \text{iv)} \bar{\nabla} \times \bar{H} = \frac{1}{c} \frac{\partial \bar{D}}{\partial t} \end{array} \quad (2.23)$$

Ortam doğrusal davranışlı ve türdeş ise (böylece  $\epsilon$  ve  $\mu$  noktadan noktaya değişmez) Maxwell denklemleri şu hale indirgenir:

$$\begin{array}{ll} \bar{D} = \epsilon \bar{E}, \bar{H} = \frac{1}{\mu} \bar{B} & \text{iii)} \bar{\nabla} \times \bar{E} + \frac{1}{c} \frac{\partial \bar{B}}{\partial t} = 0 \\ \text{i)} \bar{\nabla} \cdot \bar{E} = 0 & \\ \text{ii)} \bar{\nabla} \cdot \bar{B} = 0 & \text{iv)} \bar{\nabla} \times \bar{B} - \frac{\mu \epsilon}{c} \frac{\partial \bar{E}}{\partial t} = 0 \end{array} \quad (2.24)$$

Doğrusal ve türdeş olan böyle bir ortamda elektromagnetik dalgalar,

$$v = \frac{c}{\sqrt{\epsilon \mu}} = \frac{c}{n} \quad (2.26)$$

hızı ile yayılırlar. Burada  $n$  ortamın kırılma indisidir:

$$n = \sqrt{\epsilon \mu} \quad (2.27)$$

Bu durumda  $\vec{k}$  dalga vektörü ile  $\omega$  frekansı arasındaki ilişki,  $v = \frac{c}{\sqrt{\epsilon \mu}}$  olduğundan,

$$k = \frac{\omega}{v} = \sqrt{\mu \epsilon} \frac{\omega}{c} \text{ şeklindedir.}$$

Farklı dielektriksel özelliklere sahip iki ortam arasındaki düzlemsel arayüzde ışığın yansımıası ve kırılması alışılmış bir olaydır. Bu olayın çeşitli yanları iki sınıfa ayrılır:

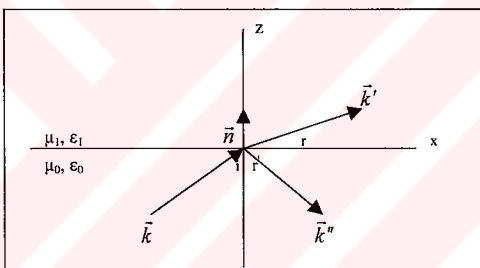
1. Kinematik özellikler:

- a. Yansıma açısı, gelme açısına eşittir.
- b. Snell Yasası:  $\frac{\sin i}{\sin r} = \frac{n_1}{n_0}$ , burada  $i$  ve  $r$  geliş ve kırılma açıları;  $n_0$  ve  $n_1$  ise geliş ortamı ve ikinci ortamın kırılma indisleridir.

2. Dinamik özellikler:

- a. Yansıyan ve kırılan ışının şiddetleri.
- b. Faz değişimleri ve kutuplanma.

Kinematik özellikler doğrudan doğruya olayın dalga niteliği ve sağlanması gereken sınır koşullarından çıkar. Fakat dalgaların ya da sınır koşullarının ayrıntılı niteliğine bağlı değildir. Öte yandan dinamik özellikler tamamıyla elektromagnetik alanların ve sınır koşullarının özel niteliğine bağlıdır.



Şekil 2.3. Gelen  $\vec{k}$  dalgasının farklı ortamlar arasındaki düzlemsel arayüzdeki gösterimi.

Probleme uygun koordinat sistemi Şekil 2.3.'de görülmektedir.  $z=0$  düzleminin altındaki ve üzerindeki ortamların geçirgenlikleri ve dielektrik sabitleri sırasıyla  $\mu_0$ ,  $\epsilon_0$  ve  $\mu_1$ ,  $\epsilon_1$  dir.

Ortamların kırılma indisleri sırasıyla (Denk.2.27),  $n_0 = \sqrt{\epsilon_0 \mu_0}$ ,  $n_1 = \sqrt{\epsilon_1 \mu_1}$  dir. Dalga sayısı  $\bar{k}$  ve frekansı  $\omega$  olan bir düzlem dalga,  $\mu_0$ ,  $\epsilon_0$  ortamından arakesite düşmektedir. Kırılan ve yansıyan dalgalar sırasıyla  $\bar{k}'$  ve  $\bar{k}''$  dalga vektörlerine sahiptir;  $\bar{n}$  ise  $\mu_0$ ,  $\epsilon_0$  li ortamdan  $\mu_1$ ,  $\epsilon_1$  li ortama yönelmiş birim dik vektördür.

Bu durumda Şekil 2.3'e göre gelen, kırılan ve yansıyan üç dalga şöyledir:

$$\begin{array}{lcl} \text{GELEN} & : & \vec{E} = \vec{E}_0 e^{i\vec{k}\vec{x} - i\omega t} \\ & : & \vec{B} = \sqrt{\mu_0 \epsilon_0} \frac{\vec{k} \times \vec{E}}{k} \end{array} \quad (2.28)$$

$$\begin{array}{lcl} \text{KIRILAN} & : & \vec{E}' = \vec{E}_0' e^{i\vec{k}'\vec{x} - i\omega t} \\ & : & \vec{B}' = \sqrt{\mu_1 \epsilon_1} \frac{\vec{k}' \times \vec{E}'}{k'} \end{array} \quad (2.29)$$

$$\begin{array}{lcl} \text{YANSIYAN:} & & \vec{E}'' = \vec{E}_0'' e^{i\vec{k}''\vec{x} - i\omega t} \\ & & \vec{B}'' = \sqrt{\mu_0 \epsilon_0} \frac{\vec{k}'' \times \vec{E}''}{k} \end{array} \quad (2.30)$$

Dalga vektörlerinin büyüklüğü;

$$\begin{aligned} |\vec{k}| &= |\vec{k}''| = k = \frac{\omega}{c} \sqrt{\mu_0 \epsilon_0} \\ |\vec{k}'| &= k' = \frac{\omega}{c} \sqrt{\mu_1 \epsilon_1} \end{aligned} \quad (2.31)$$

$z=0$  düzlemi üzerinde tüm noktalarda faz çarpanlarının tümü sınır koşullarından bağımsız olarak eşittir.

$$(\vec{k} \cdot \vec{x})_{z=0} = (\vec{k}' \cdot \vec{x})_{z=0} = (\vec{k}'' \cdot \vec{x})_{z=0} \quad (2.32)$$

Denk.2.32 yansımaya ve kırılmanın kinematik yanlarını hep kapsar. Böylece üç dalga vektörünün de bir düzlemede bulunması gerektiğini görülür. Şekil 2.3.'deki gösterime göre;

$$\begin{aligned} \vec{k} \cdot \vec{x} &= k \cdot 1 \cdot \cos(90 - i) = k \cdot \sin i \\ \vec{k}' \cdot \vec{x} &= k' \cdot 1 \cdot \cos(90 - r) = k' \cdot \sin r \\ \vec{k}'' \cdot \vec{x} &= k'' \cdot 1 \cdot \cos(90 - i) = k \cdot \sin r' \end{aligned} \quad (2.33)$$

dir. Denk.2.33 ile bulunan değerler Denk.2.32'de kullanılırsa,  $k'' = k$  olduğundan,  $i = r'$  bulunur; yani geliş açısı yansımaya açısına eşittir. Ayrıca Denk.2.33 Snell Yasasını da verir:

$$\begin{aligned} k \cdot \sin i &= k' \cdot \sin r \\ \frac{\sin i}{\sin r} &= \frac{k'}{k} = \frac{\sqrt{\mu_1 \epsilon_1}}{\sqrt{\mu_0 \epsilon_0}} = \frac{n_1}{n_0} \end{aligned} \quad (2.34)$$

Dinamik özellikler ise sınır koşullarında kendini göstermektedir.  $\vec{D}$  ve  $\vec{B}$ 'nin dik bileşenleri süreklidir;  $\vec{E}$  ve  $\vec{H}$ 'nin teğet bileşenleri süreklidir. Buna göre z=0'daki sınır koşulları şunlardır:

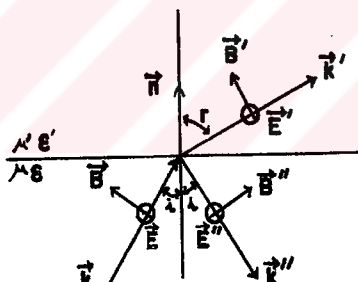
$$\begin{aligned} & \left[ \epsilon_0 \left( \vec{E}_0 + \vec{E}_0'' \right) - \epsilon_1 \vec{E}_0' \right] \cdot \vec{n} = 0 \\ & \left[ \vec{k} \times \vec{E}_0 + \vec{k}'' \times \vec{E}_0'' - \vec{k}' \times \vec{E}_0' \right] \cdot \vec{n} = 0 \\ & \left( \vec{E}_0 + \vec{E}_0'' - \vec{E}_0' \right) \times \vec{n} = 0 \\ & \left[ \frac{1}{\mu_0} \left( \vec{k} \times \vec{E}_0 + \vec{k}'' \times \vec{E}_0'' \right) - \frac{1}{\mu_1} \left( \vec{k}' \times \vec{E}_0' \right) \right] \times \vec{n} = 0 \end{aligned} \quad (2.35)$$

Bu sınır koşulları uygulanırken iki ayrı durum söz konusudur:

- i) Gelen dalga, kutuplanma vektörü geliş düzlemine dik olacak şekilde çizgisel kutupludur.
- ii) Kutuplanma vektörü geliş düzlemine paraleldir.

Genel durum için, bu iki sonucun uygun bir çizgisel karışımını almak yeterlidir:

#### $\vec{E}$ Geliş Düzlemine Dik Durumda:



Şekil 2.4. Geliş düzlemine dik kutuplanma durumunda yansıtma ve kırılma.

Şekil 2.4.'deki durumda elektrik alanların tümü yüzeye paralel olduğundan Denk.2.35'deki ilk sınır koşulu hiç bir şey vermez; üçüncü ve dördüncü denklemler şunları verirler:

$$\begin{aligned}
 III. denklem; & \left( \vec{E}_0 + \vec{E}_0'' - \vec{E}_0' \right) \times \vec{n} = 0 \\
 \Rightarrow & \left( \vec{E}_0 + \vec{E}_0'' - \vec{E}_0' \right) \cdot 1 \cdot \sin 90^\circ = 0 \\
 \Rightarrow & \left( \vec{E}_0 + \vec{E}_0'' - \vec{E}_0' \right) = 0
 \end{aligned} \tag{2.36}$$

$$\begin{aligned}
 IV. Denklem; & \left[ \frac{1}{\mu_0} \left( \vec{k} \times \vec{E}_0 + \vec{k}'' \times \vec{E}_0'' \right) - \frac{1}{\mu_1} \left( \vec{k}' \times \vec{E}_0' \right) \right] \times \vec{n} = 0 \\
 \Rightarrow & \sqrt{\frac{\epsilon_0}{\mu_0}} \cos i (E_0 - E_0'') - \sqrt{\frac{\epsilon_1}{\mu_1}} \cos r E_0' = 0
 \end{aligned} \tag{2.37}$$

Denk.2.37'nin ayrıntılı olarak elde edilişi EK-1'de sunulmuştur.

Denk.2.35'deki ikinci denklem Snell yasasıyla birlikte üçüncüünün verdiği bağıntıyı bir kez daha verir. Kırılan ve yansyan dalgaların bağıl genlikleri Denk.2.36-2.37'den bulunabilir:

$$\begin{aligned}
 & \left( \vec{E}_0 + \vec{E}_0'' - \vec{E}_0' \right) = 0 \\
 \Rightarrow & \vec{E}_0' - \vec{E}_0'' = \vec{E}_0
 \end{aligned} \tag{2.38}$$

$$\begin{aligned}
 & \sqrt{\frac{\epsilon_0}{\mu_0}} \cos i (E_0 - E_0'') - \sqrt{\frac{\epsilon_1}{\mu_1}} \cos r E_0' = 0 \\
 \Rightarrow & \sqrt{\frac{\epsilon_1}{\mu_1}} \cos r E_0' + \sqrt{\frac{\epsilon_0}{\mu_0}} \cos i E_0'' = \sqrt{\frac{\epsilon_0}{\mu_0}} \cos i E_0
 \end{aligned} \tag{2.39}$$

Denk.2.38-2.39 iki bilinmeyenli bir denklem sistemi gibi çözülcerek  $\frac{E_0''}{E_0}$  ve  $\frac{E_0'}{E_0}$  değerleri bulunabilir:

$$\Rightarrow \frac{E_0''}{E_0} = \frac{n_0 \cos i - \frac{\mu_0}{\mu_1} \sqrt{n_1^2 - n_0^2} \sin^2 i}{n_0 \cos i + \frac{\mu_0}{\mu_1} \sqrt{n_1^2 - n_0^2} \sin^2 i} \tag{2.40}$$

$$\Rightarrow \frac{E_0'}{E_0} = \frac{2n_0 \cos i}{n_0 \cos i + \frac{\mu_0}{\mu_1} \sqrt{n_1^2 - n_0^2} \sin^2 i} \tag{2.41}$$

Denk.2.40 ve 2.41'in ayrıntılı olarak elde edilişi EK-2 ve EK-3'de sunulmuştur.

Bu ifadelerdeki kare kökler  $n_1 \cos r$  dir; fakat onu geliş açısı cinsinden yazmak için Snell Yasası kullanılmıştır. Optik frekanslar için  $\frac{\mu_0}{\mu_1} = 1$  konulabilir. Buna göre Denk.2.40 ve Denk.2.41;

$$\frac{E_0''}{E_0} = \frac{n_0 \cos i - \sqrt{n_1^2 - n_0^2} \sin^2 i}{n_0 \cos i + \sqrt{n_1^2 - n_0^2} \sin^2 i} \quad (2.42)$$

$$\frac{E_0'}{E} = \frac{2n_0 \cos i}{n_0 \cos i + \sqrt{n_1^2 - n_0^2} \sin^2 i} \quad (2.43)$$

olarak elde edilir. Dalganın arakesit yüzeyine dik olarak gelmesi halinde  $i=0$  Denk.2.42 ve 2.43 şu şekilde indirgenir:

$$\begin{aligned} \frac{E_0'}{E_0} &= \frac{2n_0}{n_1 + n_0} \\ \frac{E_0''}{E_0} &= \frac{n_1 - n_0}{n_1 + n_0} \end{aligned} \quad (2.44)$$

Denk.2.44'de elde edilen ifadeler Fresnel Sabitleri olarak bilinir.

Gelen enerjinin hangi kesri yansıtılır, hangi kesri geçirilir?

Denk.2.22'ye göre şiddet (birim alan başına ortalama güç)  $I = \frac{1}{2} \nu \epsilon_0 E_0^2$  ile

verilir.  $\frac{\mu_0}{\mu_1} = 1$  durumu yine geçerli ise, yansılan şiddetin gelen şiddete oranı,

$$R = \frac{I''}{I} = \frac{\frac{1}{2} \nu_0 \epsilon_0 \left( \frac{E_0''}{E_0} \right)^2}{\frac{1}{2} \nu_0 \epsilon_0} = \left( \frac{n_1 - n_0}{n_1 + n_0} \right)^2 \quad (2.45)$$

olarak, öte yandan geçen şiddetin gelen şiddete oranı ise,

$$T = \frac{I'}{I} = \frac{\frac{1}{2} \nu_1 \epsilon_1 \left( \frac{E_0'}{E_0} \right)^2}{\frac{1}{2} \nu_0 \epsilon_0} = \frac{\nu_1 \epsilon_1}{\nu_0 \epsilon_0} \left( \frac{2n_0}{n_1 + n_0} \right)^2 = \frac{4n_0 n_1}{(n_1 + n_0)^2} \quad (2.46)$$

olarak elde edilir. Burada R yansımaya katsayı, T geçmeye katsayı olarak adlandırılır. Enerjinin korunumu  $R+T=1$  olmasını gerektirir.

## 2.2 Bir İnce Film Tarafından Işığın Yansıtılması ve Geçirilmesi

Bu bölüm soğurumsuz tek tabakalı ince bir filmin yansımı ve geçme sabitlerinin Bölüm 2.1'deki sonuçlardan yararlanarak bulunmasını içerir. Üzerine gelen bir ışık demetini yansıyan ve geçen ışık demetlerine ayran bir film göz önüne alınır.

Benzer bölgünlmeler ışık bir ara yüze her geldiğinde oluşur ve öyle ki yansıtın ve geçen ışınların şiddeti her ara yüzde yansıtın ve geçirilen çoklu yansımı ve geçme elemanlarının toplanmasıyla elde edilir. Sonuçlar uygun olarak Fresnel sabitleri kullanılarak yazılabılır.  $\lambda$  dalga boylu,  $\omega$  frekanslı, birim genlikli paralel bir ışık demetinin, kırılma indisi  $n_1$ , kalınlığı  $d$  olan homojen, isotropik bir film ve onun alt tabakası olan  $n_2$  kırılma indisli bir cam yüzeye düşüğü varsayılsın. Işığın bulunduğu ilk ortamın (hava) kırılma indisi  $n_0$  ve bu ortamda kırılma açısı  $\phi_0$  olsun.

İşık demetinin yansıtın ve geçirilen kısımlarının genlikleri Denk.2.44'de elde edilen Fresnel sabitleri kullanılarak başarıyla yazılır. Bu sabitlerin tanımlarından açıkça anlaşılmalıdır ki, verilen bir sınırla  $r$  ve  $t$  değerleri sınırı geçen ışığın ilerleme yönüne bağlıdır. Böylece kırılma indisleri  $n_0$  ve  $n_1$  olan bir ortamın ara yüzüne,  $n_0$  yönünden gelen bir ışığın yansımı için (normal gelişte) Fresnel sabiti  $\frac{n_0 - n_1}{n_0 + n_1}$ , tersi yönde

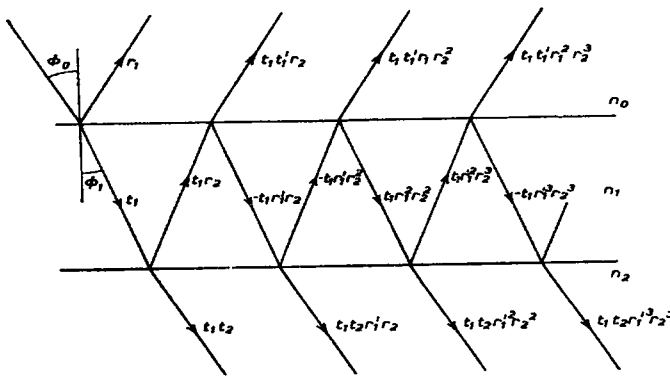
( $n_1$ 'den  $n_0$ 'a doğru) ise  $\frac{n_1 - n_0}{n_1 + n_0}$  şeklindedir. Buna karşın  $n_0$  yönünden gelen bir ışığın

geçiş durumu için (normal gelişte) Fresnel sabiti  $\frac{2n_0}{n_0 + n_1}$ , tersi yönde ( $n_1$ 'den  $n_0$ 'a doğru)

ise  $\frac{2n_1}{n_0 + n_1}$  dir.

Aslında her iki durum birbirinden farklıdır, ancak çoğu bilim adamı çalışmalarında her iki durumu sanki birbirinin aynısı gibi kabul ederek, sınırın her iki yanındaki yansımalar ve geçmeler için tek bir yansımı ve geçme katsayısı kullanmışlardır. Böylece enerjinin korunumu yasasının uygulanmasında meydana gelen bazı hataları ihmal ederek doğru sonucu elde edebilmişlerdir.

Buradaki incelemelerde ışığın geliş yönü kırılma indisleri  $n_0$  olan ortamdan  $n_1$  olan ortama doğrudur.



Şekil 2.5.  $n_0$  kırılma indisli ortamdan gelerek, belli bir kalınlıktaki  $n_1$  kırılma indisli ortamdan  $n_2$  kırılma indisli ortama geçen ışığın çoklu yansımaya ve geçmeye durumları.

Tek tabakalı problemin çözümünde,  $n_0$ 'dan  $n_1$ 'e doğru gerçekleşen yansımaya ve geçmeler için Fresnel sabitleri  $r_1$  ve  $t_1$ ,  $n_1$ 'den  $n_0$ 'a doğru gerçekleşen yansımaya ve geçmeler için Fresnel sabitleri de  $r_1'$  ve  $t_1'$  olarak gösterilmektedir. Burada Fresnel yansımaya ifadesinden aslında  $r_1'$  tanımının  $-r_1$  olduğu görülmür.

$n_0$  ortamı içindeki yansıyan ışınların genlikleri  $r_1$ ,  $t_1t_1'r_2$ ,  $-t_1t_1'r_1'r_2^2$ ,  $t_1t_1'r_1'r_2^3$ , ... ve geçirilen ışınların genlikleri ise  $t_1t_2$ ,  $-t_1t_2r_1'r_2$ ,  $t_1t_2r_1'r_2^2$ , ... şeklindedir. İşık demeti filmin içinden geçenken, fazında meydana gelen değişiklik;

$$\delta_1 = \frac{2\pi}{\lambda} n_1 d \cos \phi \quad (2.47)$$

Böylece yansiyan ışığın genliği,

$$\begin{aligned} R &= r_1 + t_1 t_1' r_2 e^{-2i\delta_1} - t_1 t_1' r_1 r_2^2 e^{-4i\delta_1} + \dots \\ &= r_1 + t_1 t_1' r_2 e^{-2i\delta_1} (1 - r_1 r_2 e^{-2i\delta_1} + r_1^2 r_2^2 e^{-4i\delta_1} - \dots) \\ e^{-2i\delta_1} = x \Rightarrow R &= r_1 + t_1 t_1' r_2 e^{-2i\delta_1} (1 - r_1 r_2 x + r_1^2 r_2^2 x^2 - \dots) \\ \Rightarrow R &= r_1 + t_1 t_1' r_2 e^{-2i\delta_1} \left( \frac{1}{1 + r_1 r_2 x} \right) \end{aligned}$$

$$\Rightarrow R = r_1 + \frac{t_1 t_1' r_2 e^{-2i\delta_1}}{1 + r_1 r_2 e^{-2i\delta_1}} \quad (2.48)$$

Burada faz ifadesindeki zaman-bağımlı faktör ihmali edilmiştir. Soğurumsuz ortam için, bu ifade Fresnel yansımı sabitleri  $r_1$  ve  $r_2$  kullanılarak daha da basitleştirilebilir. Enerjinin korunumu yasasından (ya da Fresnel sabitlerinden);

$$t_1 t_1' = 1 - r_1^2 \quad (2.49)$$

olduğundan Denk.2.48,

$$R = \frac{r_1 + r_2 e^{-2i\delta_1}}{1 + r_1 r_2 e^{-2i\delta_1}} \quad (2.50)$$

şekline dönüştür.

Geçirilen ışığın genliği ise aynı şekilde sıralı geçmelerle oluşan ışınların genliklerinin toplamından elde edilir:

$$\begin{aligned} T &= t_1 t_2 e^{-i\delta_1} - t_1 t_2 r_1 r_2 e^{-3i\delta_1} + t_1 t_2 r_1^2 r_2^2 e^{-5i\delta_1} - \dots \\ \Rightarrow T &= \frac{t_1 t_2 e^{-i\delta_1}}{1 + r_1 r_2 e^{-2i\delta_1}} \end{aligned} \quad (2.51)$$

olarak elde edilir. Denk.2.48 ve Denk.2.51 genellikle geçerlidir.

Eğer film soğuruyorsa, ya da soğuran bir ortam ile sınırlandırılmışsa, o zaman  $n_0$ ,  $n_1$ ,  $n_2$  değerleri yerine kompleks değerler karşılık gelir. Bu durumda Fresnel sabitleri de kompleks değerlere dönüştür ve halâ kesin olarak hesaplanabilmesine rağmen  $R$  ve  $T$  değerleri de bir dereceye kadar karmaşıklaşır. Bu değerlerin filmi saran ortamındaki dalgaların genliklerini verdiği unutulmamalıdır. Yansıyan ve geçirilen ışık demetine karşılık gelen enerjiler aşağıdaki gibi tanımlanır:

$$n_0 R R^* = \frac{n_0 (r_1^2 + 2r_1 r_2 \cos 2\delta_1 + r_2^2)}{(1 + 2r_1 r_2 \cos 2\delta_1 + r_1^2 r_2^2)} \quad (2.52)$$

$$n_0 T T^* = \frac{n_2 t_1^2 t_2^2}{(1 + 2r_1 r_2 \cos 2\delta_1 + r_1^2 r_2^2)} \quad (2.53)$$

Birinci ortamda birim genlikli bir dalganın dikkate alınması nedeniyle, gelen ışığın enerjisinin yansıyan ve geçirilen ışığın enerjisine oranı olarak tanımlanan yansımaya ve geçme aşağıdaki gibi verilir:

$$R = \frac{r_1^2 + 2r_1 r_2 \cos 2\delta_1 + r_2^2}{1 + 2r_1 r_2 \cos 2\delta_1 + r_1^2 r_2^2} \quad (2.54)$$

$$T = \frac{n_2}{n_0} \cdot \frac{t_1^2 t_2^2}{(1 + 2r_2 \cos 2\delta_1 + r_1^2 r_2^2)} \quad (2.55)$$

Normal gelme durumunda, yansyan ve geçirilen ışınların genlikleri için yazılan ifadeler, kırılma indisleri terminolojisinde ifade edildiğinde bile makul bir şekilde kesin olarak yazılabilir. Böylece Fresnel sabitlerinin,

$$r_1 = \frac{n_0 - n_1}{n_0 + n_1}; t_1 = \frac{2n_0}{n_0 + n_1} \quad (2.56)$$

$$r_2 = \frac{n_1 - n_2}{n_1 + n_2}; t_2 = \frac{2n_1}{n_1 + n_2} \quad (2.57)$$

şekline indirgendiği görülür. Öyle ki Denk.2.50 ve 2.51 ifadeleri de aşağıdaki gibi yazılır:

$$R = \frac{(n_0 - n_1)(n_1 + n_2)e^{i\delta_1} + (n_0 + n_1)(n_1 - n_2)e^{-i\delta_1}}{(n_0 + n_1)(n_1 + n_2)e^{i\delta_1} + (n_0 - n_1)(n_1 - n_2)e^{-i\delta_1}} \quad (2.58)$$

$$T = \frac{4n_0 n_1}{(n_0 + n_1)(n_1 + n_2)e^{i\delta_1} + (n_0 - n_1)(n_1 - n_2)e^{-i\delta_1}} \quad (2.59)$$

Buna göre gelen ışığın enerjisini yansyan ve geçirilen ışığın enerjisine oranı olarak tanımlanan yansımaya ve geçmeye aşağıdaki gibi verilir:

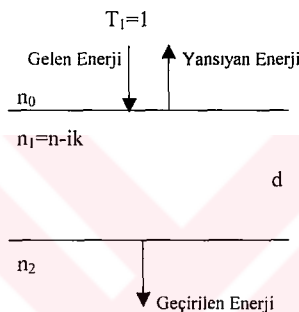
$$R = \frac{(n_0^2 + n_1^2)(n_1^2 + n_2^2) - 4n_0 n_1^2 n_2 + (n_0^2 - n_1^2)(n_1^2 - n_2^2) \cos 2\delta_1}{(n_0^2 + n_1^2)(n_1^2 + n_2^2) + 4n_0 n_1^2 n_2 + (n_0^2 - n_1^2)(n_1^2 - n_2^2) \cos 2\delta_1} \quad (2.60)$$

$$T = \frac{8n_0 n_1^2 n_2}{(n_0^2 + n_1^2)(n_1^2 + n_2^2) + 4n_0 n_1^2 n_2 + (n_0^2 - n_1^2)(n_1^2 - n_2^2) \cos 2\delta_1} \quad (2.61)$$

### 2.3 Bir İnce Filmin Zayıf Soğurum Bölgesinde Optik Sabitlerinin Belirlenmesi

Kırılma indisleri  $n_0$  ve  $n_2$  olan iki saydam ortam tarafından sınırlanmış, kompleks kırılma indis  $n_1=n_{\text{ik}}$  olan bir ince film sisteminde (Şekil 2.6.); gelen ışığın şiddetinin 1 birim olduğu düşünülürse, filmden  $n_2$  ortamına geçirilen ışığın genliği. Denk.2.51 ile

elde edilen,  $T = \frac{t_1 t_2 e^{-i\delta_1}}{1 + r_1 r_2 e^{-2i\delta_1}}$  denklemi ile verilir.



Şekil 2.6. Tek tabakalı bir ince film tarafından ışığın yansıtılması ve geçirilmesi.

Burada  $\delta_1 = \frac{2\pi}{\lambda} n_1 d \cos\phi_1$  olarak verilir. Işığın normal gelme durumunda  $\phi_1 = 0$  olacağından  $\delta_1 = \frac{2\pi}{\lambda} n_1 d$  şekline indirgenir, böylece geçirilen ışığın genliği,

$$T = \frac{t_1 t_2 e^{-2\pi n_1 d / \lambda}}{1 + r_1 r_2 e^{-4\pi n_1 d / \lambda}} = A \quad (2.62)$$

şeklinde yazılır.

Işığın tabakadan geçme şiddeti ise; daha önce Denk.2.55 ile tanımlanan,

$$T = \frac{n_2}{n_0} \cdot |A|^2 \quad (2.63)$$

denklemi ile verilir. Denk.2.62.nin karesi Denk.2.63.de yerine koymarak geçme şiddeti;

$$T = \frac{n_2}{n_0} \left[ \frac{t_1 t_2 e^{-\frac{2\pi}{\lambda}(n-ik)d}}{1 + r_1 r_2 e^{-\frac{4\pi}{\lambda}(n-ik)d}} \right]^2 = \frac{n_2}{n_0} \left[ \frac{t_1 t_2 e^{-\frac{2\pi}{\lambda}ind}}{1 + r_1 r_2 e^{-\frac{4\pi}{\lambda}ind}} e^{-\frac{2\pi}{\lambda}kd} \right]^2$$

olarak elde edilir. Soğurma sabiti k söñüm sabiti cinsinden  $\alpha = \frac{4\pi k}{\lambda}$  şeklinde verilir.

Buna göre,

$$e^{-\frac{4\pi}{\lambda}kd} = e^{-\alpha d} = x \text{ ise yukarıdaki denklemi x cinsinden aşağıdaki gibi elde edilir.}$$

$$T = \frac{n_2}{n_0} \left[ \frac{t_1 t_2 e^{-\frac{2\pi}{\lambda}ind} x^{1/2}}{1 + r_1 r_2 e^{-\frac{4\pi}{\lambda}ind} x} \right]^2 = \frac{n_2}{n_0} \left[ \frac{t_1^2 t_2^2 x}{1 + 2r_1 r_2 e^{-\frac{4\pi}{\lambda}ind} x + r_1^2 r_2^2 x^2} \right] \quad (2.64)$$

Denk.2.56 ve 2.57'deki ifadeler Denk.2.64'de yerine koymursa;

$$T = \frac{n_2}{n_0} \left[ \frac{\left( \frac{2n_0}{n_0 + n_1} \right)^2 \left( \frac{2n_1}{n_1 + n_2} \right)^2 x}{1 + 2 \left( \frac{n_0 - n_1}{n_0 + n_1} \right) \left( \frac{n_1 - n_2}{n_1 + n_2} \right) e^{-\frac{4\pi}{\lambda}ind} x + \left( \frac{n_0 - n_1}{n_0 + n_1} \right)^2 \left( \frac{n_1 - n_2}{n_1 + n_2} \right)^2 x^2} \right]$$

$$T = \frac{16n_2 n_0 n_1^2 x}{(n_0 + n_1)^2 (n_1 + n_2)^2 + 2(n_0 - n_1)(n_0 + n_1)(n_1 - n_2)(n_1 + n_2) e^{-\frac{4\pi}{\lambda}ind} x + (n_0 - n_1)^2 (n_1 - n_2)^2 x^2}$$

Yukarıdaki denklemde  $n_1 = n - ik$  olduğundan,

$$T = \frac{16n_2 n_0 (n^2 + k^2)x}{A + Bx^2 + 2Cx^{-\frac{4\pi}{\lambda}ind} x} \quad (2.65)$$

olarak elde edilir. Burada,

$$A = [(n_0 + n)^2 + k^2][(n + n_2)^2 + k^2]$$

$$B = [(n_0 - n)^2 + k^2][(n - n_2)^2 + k^2]$$

$$C = -(n^2 - n_0^2 + k^2)(n^2 - n_2^2 + k^2) \quad (2.66)$$

şeklindedir. Denk.2.65 zayıf soğurma bölgesinde sadeleştirilirse;

Zayıf soğurma bölgesinde,

$$k^2 \langle (n - n_0)^2 \rangle$$

$$k^2 \langle (n - n_1)^2 \rangle \quad (2.67)$$

olduğunda  $k^2 \approx 0$ 'dır ve bu durumda  $k^2$  ihmal edilebilir. Bu yaklaşımıla Denk.2.66:

$$\begin{aligned} A &= (n_0 + n)^2(n + n_2)^2 \\ B &= (n_0 - n)^2(n - n_2)^2 \\ C &= -(n^2 - n_0^2)(n^2 - n_2^2) \end{aligned} \quad (2.68)$$

şekline indirgenir. Denk.2.65'deki  $e^{-\frac{4\pi ind}{\lambda}}$  ifadesi trigonometrik olarak yazılıp, gerçek kısmı alınırsa Denk.2.65,

$$e^{-\frac{4\pi ind}{\lambda}} = \cos(4\pi nd/\lambda) - i\sin(4\pi nd/\lambda)$$

$$T = \frac{16n_2n_0n^2x}{(n_0 + n)^2(n + n_2)^2 + (n_0 - n)^2(n - n_2)^2x^2 - 2x(n^2 - n_0^2)(n^2 - n_2^2)\cos(4\pi nd/\lambda)} \quad (2.69)$$

olarak elde edilir. Denk.2.69,

$$\begin{aligned} C_1 &= (n_0 + n)(n + n_2) \\ C_2 &= (n_0 - n)(n_2 - n) \end{aligned} \quad (2.70)$$

ifadeleri kullanılarak tekrar yazılrsa,

$$T = \frac{16n_2n_0n^2x}{C_1^2 + C_2^2x^2 + 2C_1C_2x\cos(4\pi nd/\lambda)} \quad (2.71)$$

olarak elde edilir. Burada  $\alpha$  daha önce Denk.2.64'de kabul edildiği gibi,

$$x = e^{-\frac{4\pi ind}{\lambda}} = e^{-\alpha d} \quad (2.72)$$

şeklinde olup,  $\alpha$  filmin soğurma sabitidir.

$$\frac{4\pi nd}{\lambda} = m\pi \quad (2.73)$$

für Denk.2.64  $T_M$  ve  $T_m$ 'a dönüştür.

$m=(\text{çift tam sayı})$  ise  $\cos m\pi = +1$  olacağından;

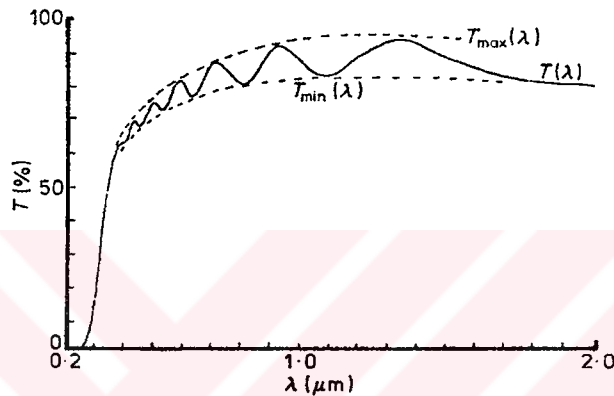
$$T_M = \frac{16n_0n_2n^2x}{C_1^2 + C_2^2x^2 + 2C_1C_2x} = \frac{16n_0n_2n^2x}{(C_1 + C_2x)^2} \quad (2.74)$$

ve  $m=(\text{tek tam sayı})$  ise  $\cos m\pi = -1$  olacağından;

$$T_m = \frac{16n_0n_2n^2x}{C_1^2 + C_2^2x^2 - 2C_1C_2x} = \frac{16n_0n_2n^2x}{(C_1 - C_2x)^2} \quad (2.75)$$

Denk.2.74 ve 2.75'nin birleşimi ile  $n$ ,  $\alpha$ ,  $k$  ve  $d$ 'nin belirlenebilmesi için bir iterasyon yöntemi geliştirilmiştir. (Lyashenko and Miloslavskii 1964)

Burada, bu yöntemin önemli bir sadeleştirme önerilmektedir:  $T_m$  ve  $T_M$ ,  $n(\lambda)$  ve  $x(\lambda)$  gibi,  $\lambda$ 'nın sürekli bir fonksiyonu olsun. Geçiş spektrumunun minimumu olan  $T_m(\lambda)$  ve maksimumu olan  $T_M(\lambda)$  fonksiyonları Şekil 2.7'de gösterilmiştir.



Şekil 2.7. Bir ince film sistemi için tipik geçiş spektrumu.

Denk.2.74 ve 2.75 birbirine oranlanırsa  $x$  aşağıdaki gibi elde edilir:

$$\begin{aligned}
 \frac{T_M}{T_m} &= \frac{16n_0n_2n^2x/(C_1 + C_2x)^2}{16n_0n_2n^2x/(C_1 - C_2x)^2} = \frac{(C_1 - C_2x)^2}{(C_1 + C_2x)^2} \\
 \Rightarrow \sqrt{\frac{T_M}{T_m}} &= \frac{(C_1 - C_2x)}{(C_1 + C_2x)} \\
 \Rightarrow \left(\frac{T_M}{T_m}\right)^{1/2} \cdot (C_1 + C_2x) &= (C_1 - C_2x) \\
 \Rightarrow C_2x + C_2x\left(\frac{T_M}{T_m}\right)^{1/2} &= C_1 - C_1\left(\frac{T_M}{T_m}\right)^{1/2} \\
 \Rightarrow x = C_1 \left(1 - \left(\frac{T_M}{T_m}\right)^{1/2}\right) &\Bigg/ C_2 \left(1 + \left(\frac{T_M}{T_m}\right)^{1/2}\right) \quad (2.76)
 \end{aligned}$$

Denk.2.76'daki  $T_M$  ve  $T_m$  ölçülebilir şiddetlerdir.

Denk.2.76'dan yararlanarak kırılma indis  $n$ 'nin belirlenebilmesi için Denk.2.76. Denk.2.74'de yerine koyulursa;

$$\left(\frac{T_M}{T_m}\right)^{1/2} = q \Rightarrow x = \frac{C_1(1-q)}{C_2(1+q)} \quad (2.77)$$

$$\begin{aligned} \Rightarrow T_M &= \frac{16n_0n_2n^2 \frac{C_1(1-q)}{C_2(1+q)}}{\left(C_1 + C_2 \frac{C_1(1-q)}{C_2(1+q)}\right)^2} = \frac{16n_0n_2n^2 \frac{C_1(1-q)}{C_2(1+q)}}{C_1^2 \left(1 + \frac{1-q}{1+q}\right)^2} \\ \Rightarrow T_M &= \frac{4n_0n_2n^2(1-q)(1+q)}{C_1C_2} = \frac{4n_0n_2n^2(1-q^2)}{C_1C_2} \\ \Rightarrow T_M &= \frac{4n_0n_2n^2(1-T_M/T_m)}{C_1C_2} \\ \Rightarrow \frac{C_1C_2}{4n_0n_2n^2} &= \frac{T_m - T_M}{T_M T_m} \end{aligned}$$

olarak elde edilir. Burada Denk.2.70 kullanılarak;

$$\begin{aligned} \frac{(n+n_0)(n+n_1)(n-n_0)(n-n_1)}{4n_0n_2n^2} &= \frac{T_m - T_M}{T_M T_m} \\ (n^2 - n_0^2)(n^2 - n_1^2) &= 4n_0n_2n^2 \frac{T_m - T_M}{T_M T_m} \\ n^4 - n^2n_1^2 - n^2n_0^2 + n_0^2n_1^2 &= 4n_0n_2n^2 \frac{T_m - T_M}{T_M T_m} \\ n^2 - n_1^2 - n_0^2 + \frac{n_0^2n_1^2}{n^2} &= 4n_0n_2 \frac{T_m - T_M}{T_M T_m} \\ n^2 + \frac{n_0^2n_1^2}{n^2} &= (n_1^2 + n_0^2) + 4n_0n_2 \frac{T_m - T_M}{T_M T_m} \\ (n_1^2 + n_0^2) + 4n_0n_2 \frac{T_m - T_M}{T_M T_m} &= 2N \\ \Rightarrow n^2 + \frac{n_0^2n_1^2}{n^2} &= 2N \\ \Rightarrow n^4 - n^2 2N + n_0^2n_1^2 &= 0 \end{aligned} \quad (2.78)$$

şeklinde bulunur. Denk.2.78 II.dereceden bir denklem gibi çözülürse;

$$\begin{aligned} \Delta &= 4N^2 - 4n_0^2n_1^2 \Rightarrow \sqrt{\Delta} = 2(N^2 - n_0^2n_1^2)^{1/2} \\ \Rightarrow (n^2)_{1,2} &= \frac{2N \pm 2(N^2 - n_0^2n_1^2)^{1/2}}{2} \\ \Rightarrow n^2 &= N + (N^2 - n_0^2n_1^2)^{1/2} \end{aligned}$$

$$\Rightarrow n = \left[ N + \left( N^2 - n_0^2 n_1^2 \right)^{1/2} \right]^{1/2} \quad (2.79)$$

olarak bulunur. Burada,

$$N = \frac{n_1^2 + n_0^2}{2} + 2n_0 n_1 \frac{T_m - T_M}{T_M T_m} \quad (2.80)$$

şeklindedir. Denk.2.79'da, aynı dalga boyundaki  $T_M$  ve  $T_m$  değerleri ile  $n_1$  ve  $n_0$  değerleri kullanılarak  $n$  kesin olarak belirlenir.

$n$ 'nin bilinmesiyle  $C_1$  ve  $C_2$ 'de tam olarak belirlenebileceğinden, Denk.2.76'dan  $x$  elde edilebilir.

Filmin d kalınlığı ise Denk.2.73 kullanılarak, bitişik iki maksimum ya da iki minimumdan belirlenebilir. Bitişik iki maksimum noktasında Bragg yasası:

$$\begin{aligned} 2n_{\lambda_1}d = m\lambda_1 &\Rightarrow m = \frac{2n_{\lambda_1}d}{\lambda_1} \\ 2n_{\lambda_2}d = (m+1)\lambda_2 &\Rightarrow m = \frac{2n_{\lambda_2}d}{\lambda_2} - 1 \\ \frac{2n_{\lambda_1}d}{\lambda_1} &= \frac{2n_{\lambda_2}d}{\lambda_2} - 1 \\ \Rightarrow d \left( \frac{2n_{\lambda_1}}{\lambda_1} - \frac{2n_{\lambda_2}}{\lambda_2} \right) &= -1 \\ \Rightarrow d = \frac{1}{\frac{2n_{\lambda_2}}{\lambda_2} - \frac{2n_{\lambda_1}}{\lambda_1}} &= \frac{1}{2\lambda_1 n_{\lambda_2} - 2\lambda_2 n_{\lambda_1}} \\ \Rightarrow d = \lambda_1 \lambda_2 / 2(\lambda_1 n_{\lambda_2} - \lambda_2 n_{\lambda_1}) & \end{aligned} \quad (2.81)$$

$\lambda_1$ ,  $n_{\lambda_1}$  ve  $\lambda_2$ ,  $n_{\lambda_2}$  iki extreme (max. ya da min.) noktasındaki kırılma indisleri ve dalga boyuna karşılık gelmektedir.

$d$  ve  $x$ 'in bu şekilde belirlenmesiyle, Denk.2.72'den  $k$  sönümlü sabiti belirlenebilir:

$$\begin{aligned} x &= e^{-4\pi kd/\lambda} \\ \ln x &= -4\pi kd/\lambda \\ \Rightarrow -\ln x &= 4\pi kd/\lambda \\ \Rightarrow \ln x^{-1} &= 4\pi kd/\lambda \\ \Rightarrow \ln(1/x) &= 4\pi kd/\lambda \end{aligned}$$

$$\Rightarrow k = \frac{\lambda \cdot \ln(l/x)}{4\pi d} \quad (2.82)$$

En son olarak  $\alpha$  soğurma sabiti de Denk.2.72'den,

$$\alpha = \frac{4\pi k}{\lambda} \quad (2.83)$$

olarak belirlenir.

## 2.4 İnce Filmlerde Elektriksel İletkenlik

Elektriksel özellikleri nedeniyle ince filmler, son zamanlarda uygulamada sıkça kullanılmış ve teorik olarak incelenmiştir. Eskiden büyük elektriksel sistemlerle yapılabilecek işlemler bugün mikroskopik ince film tabanlı entegre devre çipleriyle daha etkili ve güvenilir bir şekilde yapılmaktadır. Malzemenin sınıfına, fiziksel durumuna, gövde veya film şeklinde olup olmadığına bakılmaksızın, uygulanan  $E$  elektrik alanında  $v$  hızıyla hareket eden  $q$  yüklü bir  $n$  taşıyıcı konsantrasyonunun  $J$  elektriksel akım yoğunluğu aşağıdaki basit bağıntı ile verilir:

$$J = nqv \quad (2.84)$$

Birçok malzeme için, özellikle küçük elektrik alanlarında taşıyıcı hızı elektrik alan ile orantılıdır;

$$v = \mu E \quad (2.85)$$

orantı sabiti veya birim alandaki hız mobilite ( $\mu$ ) olarak bilinir. Buna göre akım yoğunluğu şu şekilde ifade edilebilir;

$$J = nq\mu E \quad (2.86)$$

ve Ohm Kanununun ( $J = \sigma E$ ) Denk.2.86 ile karşılaştırıldığından iletkenlik ( $\sigma$ ) veya özdirencin tersi ( $1/\rho$ );

$$\sigma = 1/\rho = nq\mu \quad (2.87)$$

olarak ifade edilir.

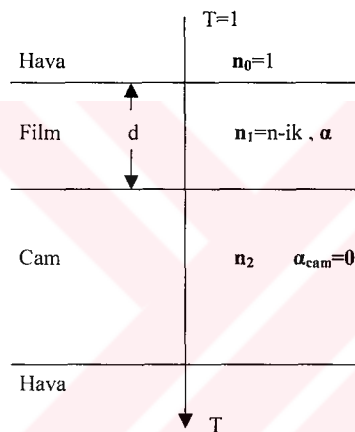
Elektriksel iletkenlik teorileri, yukarıdaki eşitliklerde malzeme sabitlerinin niteliğini, doğasını ve büyüklüğünü tanımlamaya çalışır.  $n$  ve  $v$  veya  $\mu$ 'nın, sıcaklığın, bileşığın, yapısal bozukluğun ve elektrik alanının bir fonksiyonu olarak nasıl değiştiği ile ilgilidir.

### 3. MATERİYAL VE YÖNTEM

#### 3.1. Amorf Silikonun Optik Sabitlerinin ve Kalınlığının Belirlenmesi

Amorf silikon önemli bir fotovoltaik malzemedir. Bu malzeme yaklaşık 1  $\mu\text{m}$  kalınlığında film içerir. Malzemenin fotoelektrik davranışını belirlemek için kırılma indisini ve soğurma sabitinin dalga boyunun ( $\lambda$ ) bir fonksiyonu olarak bilinmesi çok önemlidir. Kırılma indisini ve soğurma sabiti genellikle, yansımaya ve geçme spektrumlarının kullanılması ile belirlenir.

Cam bir tabaka üzerine kaplanan ince film sistemi Şekil 3.1'de gösterilmiştir.



Şekil 3.1 Belli kalınlıkta cam tabaka üzerindeki ince film sistemi.

Burada,

$d$ : Filmin kalınlığı.

$n_1$ : Filmin kompleks kırılma indisini ( $n_1 = n - ik$ )

$k$ : Filmin söñüm sabiti.

$k$  söñüm sabitinin,  $\alpha$  soğurma sabiti cinsinden değeri (Bkz. Bölüm 2.3),

$$k = \frac{\alpha\lambda}{4\pi} \quad (3.1)$$

olarak verilir.

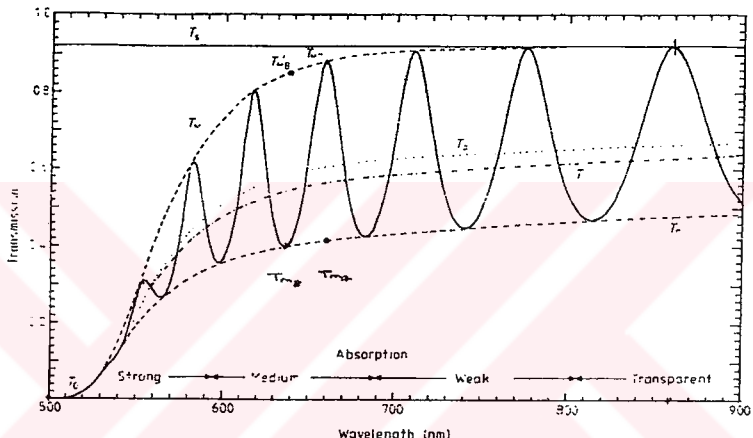
Cam tabakanın kalınlığı, filmin  $d$  kalınlığından bir kaç kat daha kalındır.

$n_2=s$ : Camın kırılma indisi.

$\alpha_{cam}=0$ : Camın soğurma sabiti.

Sistemi çevreleyen havanın kırılma indisi  $n_0=1$ 'dir.

Eğer  $d$  kalınlığı filmin her yerinde aynı değilse, bütün ara yüz etkileri yok edilir ve Şekil 3.2'de gösterilen pürzsüz bir  $T_\alpha$  geçiş eğrisi elde edilir.



Şekil 3.2 Belli kalınlıktaki cam tabaka üzerine kaplanan ince filmin spektrumu.

Şekil 3.2'deki spektrum 4 bölgeye ayrılır.  $\alpha=0$  olan cam tabaka bölgesinde, geçiş spektrumu çoğalan yansımalarдан belirlenir. Zayıf soğurma bölgesinde  $\alpha$  küçüktür, fakat geçiş azalmaya başlar. Orta soğurma bölgesinde  $\alpha$  büyüktür ve geçiş ana olarak  $\alpha$ 'nın etkisiyle azalır. Güçlü soğurma bölgesinde geçiş hemen hemen sadece  $\alpha$ 'nın etkisiyle güçlü bir şekilde azalır.

Eğer  $d$  kalınlığı tek ise, arayüz etkileri Şekil 3.2'de gösterilen bir spektruma neden olur. Arayüz kenarları filmin optik sabitlerinin hesaplanmasıında ihmal edilemeyecek kadar önemlidir. Bu yüzden Bölüm 2.2.deki Denk.2.48 ve 2.51 bütün yansımı ve geçmelerin toplamı alınarak elde edilmiştir.

Film yokken sadece kalın cam düşünüldüğünde, arayüzsüz geçiş aşağıdaki ifade ile verilir.

$$T_s = \frac{(I-R)^2}{I-R^2} \quad (3.2)$$

Burada,

$$R = [(s-1)/(s+1)]^2 \quad (3.3)$$

olduğundan  $T_s$ , camın kırılma indisi s cinsinden,

$$T_s = \frac{2s}{s^2 + 1} \quad (3.4)$$

şeklinde elde edilir. Buradaki  $T_s$  değeri, camın tek başına spektrumu alınarak, deneysel olarak ölçülen bir değerdir. Bu bakımdan Denk.3.4.den yararlanılarak,  $T_s$  hesaplanırsa s aşağıdaki gibi belirlenir:

$$\begin{aligned} T_s &= \frac{2s}{s^2 + 1} \Rightarrow s^2 T_s + T_s - 2s = 0 \\ \Delta &= 4 - 4T_s^2 \Rightarrow \sqrt{\Delta} = 2\left(1 - T_s^2\right)^{1/2} \\ \Rightarrow s &= \frac{2 + 2\left(1 - T_s^2\right)^{1/2}}{2T_s} = \frac{1}{T_s} + \left(\frac{1 - T_s^2}{T_s^2}\right)^{1/2} \\ \Rightarrow s &= \frac{1}{T_s} + \left(\frac{1}{T_s^2} - 1\right)^{1/2} \end{aligned} \quad (3.5)$$

Arayüz kenarları için temel eşitlik (Bragg Yasası);

$$2nd = m\lambda \quad (3.6)$$

Burada m maksimumlar için tam sayı, minimumlar için yarı tam sayıdır. Denk.3.6. n ve d'nin üretilmesi üzerine bilgi içerir, ancak n'yi ve d'yi bu eşitlikten ayrı ayrı belirlemenin bir yolu yoktur. (Bkz.Bölüm 2.3)

Şekil 3.1'deki durumda işığın T geçme genliği kompleks bir fonksiyondur.

$$T = T(\lambda, s, n, d, \alpha) \quad (3.7)$$

Eğer s bilinirse, n( $\lambda$ ) ve soğurum x( $\lambda$ ) terimlerinden T aşağıdaki gibi yazılır:

$$T = T(n, x) \quad (3.8)$$

Buna göre,

$$T = \frac{Ax}{B - Cx \cos \varphi + Dx^2} \quad (3.9)$$

$$\begin{aligned}
A &= 16sn^2 \\
B &= (n+1)^3(n+s^2) \\
C &= 2(n^2-1)(n^2-s^2) \\
D &= (n-1)^3(n^2-s^2) \\
\varphi &= 4\pi nd/\lambda; x = e^{-\alpha d}
\end{aligned} \tag{3.10}$$

Arayüz kenarlarında Denk.3.9, daha önce Bölüm 2.3'de de elde edildiği gibi,

$$T_M = \frac{Ax}{B - Cx + Dx^2} \tag{3.11}$$

$$T_m = \frac{Ax}{B + Cx + Dx^2} \tag{3.12}$$

şekline dönüşür. Yapılan analizler  $T_M$  ve  $T_m$ 'nin  $\lambda$ 'nın sürekli bir fonksiyonu olduğunu göstermiştir. Böylece herhangi bir  $\lambda$  için,  $T_M$ 'ye karşılık bir  $T_m$  vardır.

Şekil 3.2'deki;

$\Rightarrow$  Saydam bölgедe  $\alpha=0$  ya da  $x=1$ 'dir.

$$T_M = \frac{A}{B - C + D} = \frac{2s}{s^2 + 1} \tag{3.13}$$

Denk.3.13, Denk.3.4 ile benzerdir. Arayüz kenarlarının maksimumu sadece s'nin fonksiyonudur ve  $T_s$  ile gösterilir. Maksimum, soğurma ile belirtildiğinde  $T_s$ 'den biraz sapar. Denk.3.13, Denk.3.5 formunda kullanılarak saydam bölgедe s'yi hesaplamak için kullanılır. Aynı şekilde, Denk.3.12'de x=1 kullanılarak;

$$T_m = \frac{A}{B + C + D} = \frac{4n^2s}{n^4 + n^2(s^2 + 1) + s^2} \tag{3.14}$$

olarak elde edilir. Daha önce Bölüm 2.3'de yapıldığı gibi Denk.3.14'ten n hesaplanırsa:

$$\begin{aligned}
&\Rightarrow n^2 + (s^2 + 1) + \frac{s^2}{n^2} = \frac{4s}{T_m} \\
&\Rightarrow \frac{n^2}{2} + \frac{s^2}{2n^2} = \frac{2s}{T_m} - \frac{s^2 + 1}{2}
\end{aligned}$$

olarak bulunur. Burada,

$$M = \frac{2s}{T_m} + \frac{s^2 + 1}{2} \quad (3.15)$$

$$\Rightarrow n^4 - 2Mn^2 + s^2 = 0$$

$$\Rightarrow n = \left[ M + (M^2 - s^2)^{1/2} \right]^{1/2} \quad (3.16)$$

$T_m$  böylece  $n$  ve  $s$ 'nin ikisinin de bir fonksiyonu olur ve  $n$  saydam bölgede Denk.3.16 kullanılarak  $T_m$ 'den hesaplanabilir.

$\Rightarrow$  Zayıf ve orta soğurma bölgesinde ise  $\alpha \neq 0$  ya da  $x < 1$ 'dir. Bu bölgede, Denk.3.12'nin tersinden, Denk.3.11'in tersi çıkarılarak  $x$ 'den bağımsız bir ifade elde edilir:

$$\frac{1}{T_m} - \frac{1}{T_M} = \frac{2C}{A} \quad (3.17)$$

Denk.3.17 daha önce Bölüm 2.3'de elde edilen Denk.2.79 ile aynı sonucu verir. Bölüm 2.3'de de elde edildiği gibi Denk.3.10'daki A ve C değerlerinin Denk.3.17'de kullanılması ve bu denklemin çözülmesi ile  $n$  elde edilir:

$$n = \left[ N + (N^2 - n_0^2 n_1^2)^{1/2} \right]^{1/2} \quad (2.79)$$

$$\Rightarrow n = \left[ N + (N^2 - s^2)^{1/2} \right]^{1/2} \quad (3.18)$$

Burada,

$$N = \frac{n_1^2 + n_0^2}{2} + 2n_0 n_1 \frac{T_M - T_m}{T_M T_m} \quad (2.80)$$

$$\Rightarrow N = \frac{s^2 + 1}{2} + 2s \frac{T_m - T_M}{T_M T_m} \quad (3.19)$$

Denk.3.18, zayıf ve orta soğurma bölgesinde  $T_M$  ve  $T_m$ 'den  $n(\lambda)$ 'nın hesaplanması için kullanılır.

Böylece  $n(\lambda)$ 'nın elde edilmesiyle Denk.3.10'daki bütün sabitler belirlenebilir ve daha sonra  $x$  değişik yollardan hesaplanabilir.

Bilinen  $n(\lambda)$  ve  $s$  değerlerinden, soğurum  $x(\lambda)$  terimi de belirlenebilir.

Denk.3.11 ve 3.12 quadratik eşitliklerdir. Denk.3.11'in çözülmesiyle  $x$  elde edilir:

$$T_M = \frac{16n^2sx}{(n+1)^3(n+s^2) - 2(n^2-1)(n^2-s^2)x + (n-1)^3(n-s^2)x^2} \\ (n-1)^3(n-s^2)x^2 - 2\left(\frac{8n^2s}{T_M} + (n^2-1)(n^2-s^2)\right)x + (n+1)^3(n+s^2) = 0$$

Burada;

$$E_M = \frac{8n^2s}{T_M} + (n^2-1)(n^2-s^2) \quad (3.20)$$

$$\Rightarrow (n-1)^3(n-s^2)x^2 - 2E_Mx + (n+1)^3(n+s^2) = 0$$

$$\Delta = 4E_M^2 - 4(n-1)^3(n-s^2)(n+1)^3(n+s^2) = 4E_M^2 - 4(n^2-1)^3(n^2-s^4)$$

$$\Rightarrow x = \frac{2E_M + 2\left[E_M^2 - (n^2-1)^3(n^2-s^4)\right]^{1/2}}{2(n-1)^3(n-s^2)} \quad (3.21)$$

$$\Rightarrow x = \frac{E_M + \left[E_M^2 - (n^2-1)^3(n^2-s^4)\right]^{1/2}}{(n-1)^3(n-s^2)}$$

şeklindedir.  $E_M$  deneyisel olarak elde edilebilen s, n, ve  $T_M$ 'den elde edilebilen, deneyisel bir değerdir.

Benzer şekilde Denk.3.12'nin çözülmesiyle x,

$$\Rightarrow x = \frac{E_m - \left[E_m^2 - (n^2-1)^3(n^2-s^4)\right]^{1/2}}{(n-1)^3(n-s^2)} \quad (3.22)$$

olarak elde edilir.

Burada,

$$E_m = \frac{8n^2s}{T_m} - (n^2-1)(n^2-s^2) \quad (3.23)$$

şeklindedir.  $E_m$  deneyisel olarak elde edilebilmektedir.

Denklem 3.11 ve 3.12'nin terslerinin toplanmasıyla;

$$\frac{1}{T_M} + \frac{1}{T_m} = \frac{2(B + Dx^2)}{Ax}$$

$$\Rightarrow \frac{2T_M T_m}{T_M + T_m} = \frac{Ax}{B + Dx^2} \quad (3.24)$$

olarak elde edilir. Burada;

$$\cdot \frac{2T_M T_m}{T_M + T_m} = T_i \quad (3.25)$$

olarak kabul edilirse, Denk.3.24'ün çözülmesiyle  $x$ ,

$$x = \frac{F^2 - (n^2 - 1)^3 (n^2 - s^4)^{1/2}}{(n-1)^3 (n-s^2)} \quad (3.26)$$

şeklinde elde edilir.

Burada,

$$F = \frac{8n^2 s}{T_i} \quad (3.27)$$

şeklindedir. Denk.3.9 ve 3.24'den  $T_i$ 'nin, Şekil 3.2'den de görülebileceği gibi, kenarların değişim noktaları boyunca geçen bir eğri olduğu görülebilir.

Arayüzsüz geçiş olan  $T_a$ , Denk.3.9'un minimum ve maksimum ( $0-\pi$ ) aralığında integre edilmesiyle arayüz kenarlarından hesaplanır.

$$T_a = \frac{1}{\pi} \int_0^\pi \frac{Ax}{B - Cx \cos \varphi + Dx^2} d\varphi \quad (3.28)$$

$$T_a = \frac{Ax}{[(B - Cx + Dx^2)(B + Cx + Dx^2)]^{1/2}} \quad (3.29)$$

Denk.3.11 ve Denk.3.12'yi Denk.3.29'da kullanırsak;

$$T_a = \sqrt{T_M \cdot T_m} \quad (3.30)$$

olarak elde edilir. Buna göre  $T_a$ ,  $T_M$  ve  $T_m$ 'nin geometrik ortalamasıdır.

Denk.3.29'un çözülmesiyle  $x$  elde edilir:

$$x = \frac{\left\{ G - [G^2 - (n^2 - 1)^6 (n^2 - s^4)^2]^{1/2} \right\}^{1/2}}{(n-1)^3 (n-s^2)} \quad (3.31)$$

Burada,

$$G = \frac{128n^4 s^2}{T_a^2} + n^2 (n^2 - 1)^2 (s^2 - 1)^2 + (n^2 - 1)^2 (n^2 - s^2)^2 \quad (3.32)$$

Denk.3.31 aynı zamanda  $\alpha=0$  olan saydam bölgede  $T_a$ 'dan  $n$ 'yi belirlemek için kullanılır. Denk.3.31'de  $x=1$  alırsak, bu denklemin çözülmesinden  $n$  elde edilir:

$$n = \left[ H + (H^2 - s^2)^{1/2} \right]^{1/2} \quad (3.33)$$

Burada,

$$H = \frac{4s^2}{(s^2 + 1)T_a^2} - \frac{s^2 + 1}{2} \quad (3.34)$$

⇒ Güçlü soğurma bölgesinde arayüz kenarları görülmez.  $n$ 'yi ve  $x$ 'i bu bölgede sadece geçiş spektrumundan hesaplamak mümkün değildir.  $n$ 'nin değerleri, spektrumun diğer bölgelerinden hesaplanan değerlerin tahmin edilmesiyle değerlendirilebilir.  $x$ 'in değerleri, eğrinin ayrı bölgelerinde elde edilen Denk.3.21, 3.22, 3.26 ve 3.31 denklemlerinden biri kullanılarak elde edilir. Çok geniş bir  $\alpha$  değeri için  $T_M$ ,  $T_m$ ,  $T_i$  ve  $T_a$  eğrileri tek bir  $T_0$  eğrisinde birleşir. Arayüz etkileri ihmali edilirse, Denk.3.9  $x \ll 1$  için,

$$T_0 \approx \frac{Ax}{B} \quad (3.35)$$

olarak ya da;

$$x \approx \frac{(1+n)^2(n+s)^2}{16n^2s} T_0 \quad (3.36)$$

olarak yazılabilir.(R.Swanepol,1983)

### 3.2. Sonsuz Saydam Tabaka Yaklaşımı

$T$  için diğer bir ifade, sonsuz bir saydam taban olduğu varsayımdan elde edilir. Bu Manifacier'in kullandığı, Bölüm 2.3'de anlatılan yöntemdir. Böylece camın arkasından artan yansımaların katkısı ihmali edilebilir. Bu ifadenin denk bir şekli aşağıdaki denklem ile verilir.

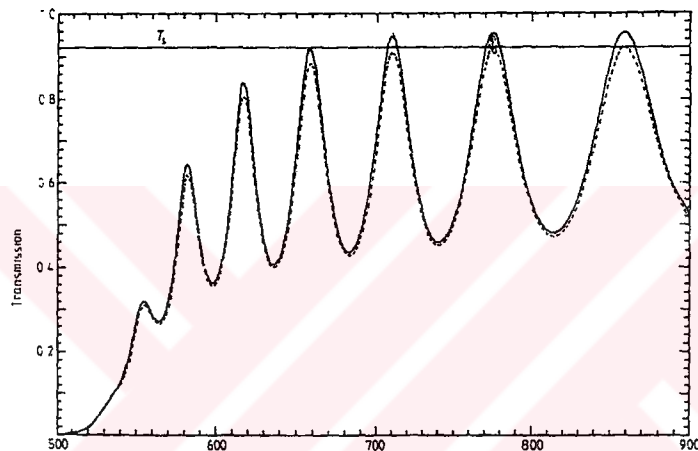
Sonsuz saydam taban durumunda  $T$  geçisi,

$$T = \frac{A'x}{B' - C'x + D'x^2} \quad (3.37)$$

şeklindedir.

Sonsuz saydam taban üzerine kaplanan ince film durumunda elde edilen ve Denk.3.37 ile ifade edilen  $T$  geçisi ile sonlu saydam taban üzerine kaplanan ince film durumunda elde edilen ve Denk.3.11 ile ifade edilen  $T$  geçisinin karşılaştırılması Şekil 3.3'de verilmektedir.

Şekil 3.3'deki kesikli çizgiler Denk.3.11 ile hesaplanan sonlu saydam taban durumunda elde edilen T geçişine karşı gelir. Sürekli çizgiler ise Denk.3.37 ile hesaplanan sonsuz saydam taban durumunda elde edilen T geçişine karşı gelmektedir. Şekilden de görüldüğü gibi Denk.3.37, Denk.3.11'e göre daha yüksek  $T_M$  ve  $T_m$  değerleri üretmektedir.



Şekil 3.3 Sonlu saydam taban durumu ile sonsuz saydam taban durumunun karşılaştırılması.

### 3.3. İnce Filmlerin İletkenliklerinin Belirlenmesi ve İletkenliğin Sıcaklıkla Değişimi

İnce filmlerin iletkenliklerini belirlerken;

$$\sigma = \frac{IL}{V\omega d} \quad (3.38)$$

eşitliği kullanılmaktadır. İnce filmlere sabit bir gerilim uygulanarak, geçen akım ölçülmüştür. Denk.3.38'de  $\sigma$  filmin iletkenliği,  $V$  uygulanan gerilim,  $I$  ölçülen akım,  $L$  film boyu,  $\omega$  filmin eni ve  $d$  ise film kalınlığıdır.

Sıcaklık, belli bir aralıktı, belli bir periyodik artışla arttırılarak filmler üzerinden geçen akım ölçülerek, filmlerin iletkenlikleri her bir sıcaklık değeri için Denk.3.38' den hesaplanabilir. Artan sıcaklıkla iletkenliğin de artması beklenmektedir. Sıcaklığın artmasıyla birlikte elektronların da enerjileri artar ve daha fazla elektron yasak enerji aralığını atlayarak iletme katılır. Yasak enerji aralığını atlayan elektron sayısının artmasıyla,  $n$  taşıyıcı konsantrasyonu da doğrudan artar. Taşıyıcı konsantrasyonu sıcaklıkla birlikte eksponansiyel olarak artar. Isısal olarak enerji kazanan bu elektronların dağılımı;

$$n \propto e^{-E_a / kT} \quad (3.39)$$

şeklinde ifade edilebilir. Burada  $n$ , iletim bandındaki elektronların sayısı,  $E_a$  ise aktivasyon enerjisidir. İletkenlik ve taşıyıcı konsantrasyonu arasındaki ilişki;

$$\sigma = n e \mu \quad (3.40)$$

ifadesiyle verilir. Bu eşitlikten görüldüğü gibi iletkenlik, taşıyıcı konsantrasyonu ile doğru orantılıdır. Bundan dolayı iletkenlik için;

$$\sigma = \sigma_0 e^{-E_a / kT} \quad (3.41)$$

eşitliği yazılabilir. İletkenlik sıcaklığın bir fonksiyonudur ve sıcaklıkla birlikte artar. Denk.3.41'deki  $\sigma_0$  Denk.3.40'daki  $\mu$  ve  $e$ 'nin her ikisini de içeren bir orantı sabitidir. Mobilite sıcaklıkla değişir; ancak yarıiletkenlerin çoğunun normal çalışma aralığında mobiliterindeki bu değişim taşıyıcı konsantrasyondaki eksponansiyel değişimle karşılaşıldığında küçüktür. Bundan dolayı, Denk.3.41,

$$\ln \sigma = \ln \sigma_0 - E_a / kT \quad (3.42)$$

şeklinde yazılabilir.  $\ln \sigma$ 'nın  $1/T$ 'ye göre grafiği çizildiğinde grafiğin eğimi  $-E_a / k$  ya eşittir.

## **4. ARAŞTIRMA BULGULARI VE TARTIŞMA**

### **4.1 Giriş**

Bu bölümde MK-30, MK-36 ve MK-37 olarak isimlendirilen s-tipi dop edilmiş saf a-Si:H (Hidrojenlendirilmiş amorf silikon) ince filmlerinin; hesaplanan kırılma indisi, kalınlık, soğurum katsayısı ve iletkenlik sonuçları verilmiştir.

Kalınlık hesaplamaları, Perkin Elmer UV-VIS Spectrometer Lambda 2S spektrometresinden, 600-1100 nm dalga boyu aralığında ölçülen geçiş spektrumları kullanılarak yapılmıştır.

Elde edilen kalınlık bilgileri ve kırılma indisi sonuçları kullanılarak ince filmlere ait soğurma katsayıları hesaplanmıştır. Soğurma katsayısı değerlerinin, her bir dalga boyunda hesaplanan enerji değerlerine göre grafiği çizilerek bu grafikten band aralığı enerji değeri ( $E_g$ ) elde edilmiştir.

Ayrıca filmlerin iletkenlikleri hesaplanarak  $\ln\sigma - 1/T$  ölçümlerine ait sonuçlar da verilmiş ve iletkenliğin sıcaklıkla değişimi incelenmiştir.  $\ln\sigma - 1/T$  grafiklerinin eğiminden filmlerin aktivasyon enerjileri ( $E_a$ ) hesaplanmıştır.

Saf yarıiletkenlerde fermi düzeyi  $E_g$  band aralığı değerinin yarısına eşit olması gerekip ki bu da aktivasyon enerjisine eşittir. Böylece elde edilen  $E_a$  ve  $E_g$  değerlerinin karşılaştırması yapılmıştır.

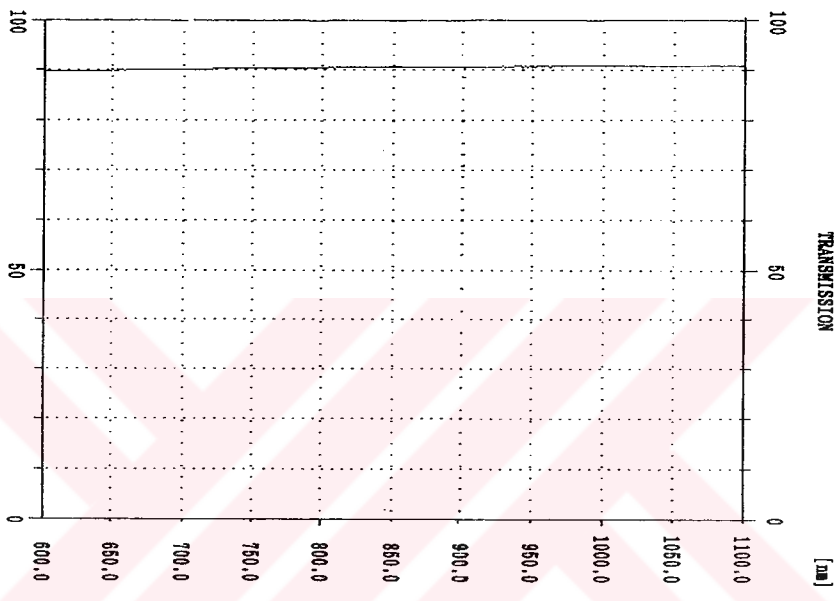
### **4.2 Filmin Kırılma İndisinin ve Kalınlığının Belirlenmesi**

Ölçümler yapılırken ince filmlerin monte edildiği camın kırılma indisi ( $s$ ) sadece camın spektrumunun ölçülmesi ile belirlenir. Elde edilen spektrum ile  $T_s$  belirlenir ve bu değer kullanılarak, Denk.3.5'ten  $s$  hesaplanabilir.

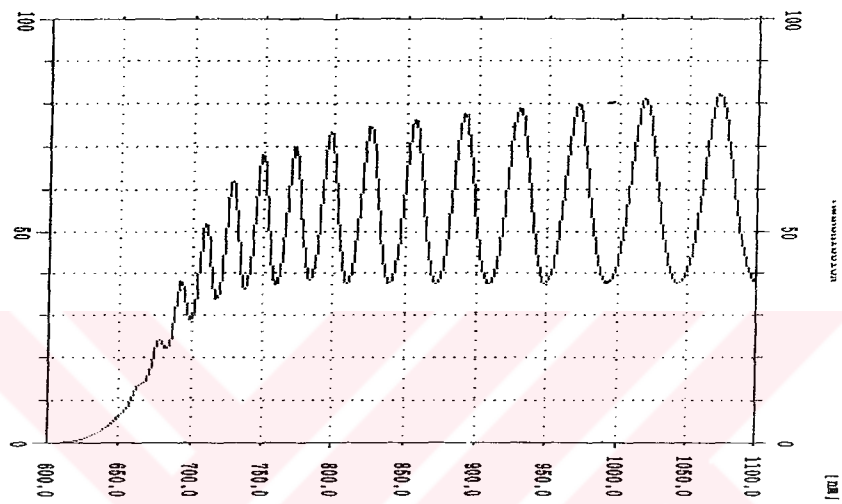
Bu çalışmada  $T_s=0,91$  ve bundan hesaplanan  $s=1,555$ 'dir. (Bkz. Şekil 4.1)

$n$ 'nin, spektrumun zayıf ve orta bölgesinde hesaplanabilmesi için farklı  $\lambda$  değerlerinde  $T_M$  ve  $T_m$  değerlerinin ölçülmesi gereklidir.

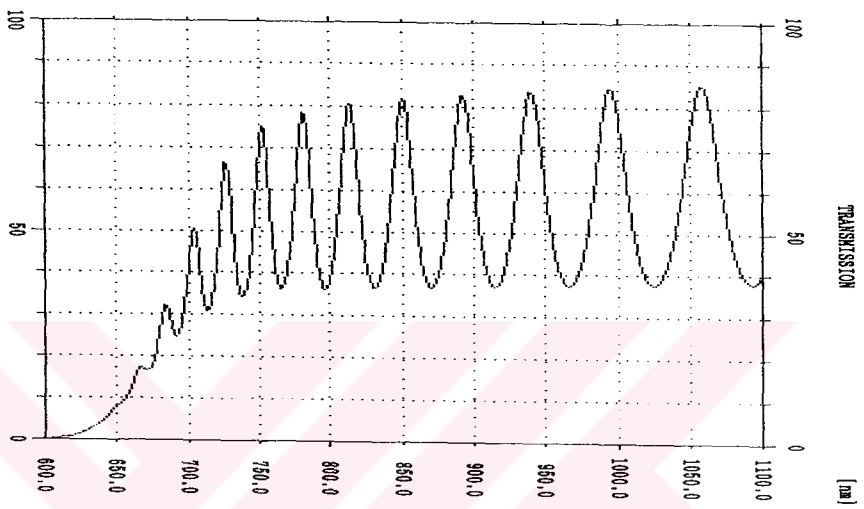
Aşağıda MK-30, MK-36 ve MK-37 ince filmlerine ait geçiş spektrumları verilmiştir.



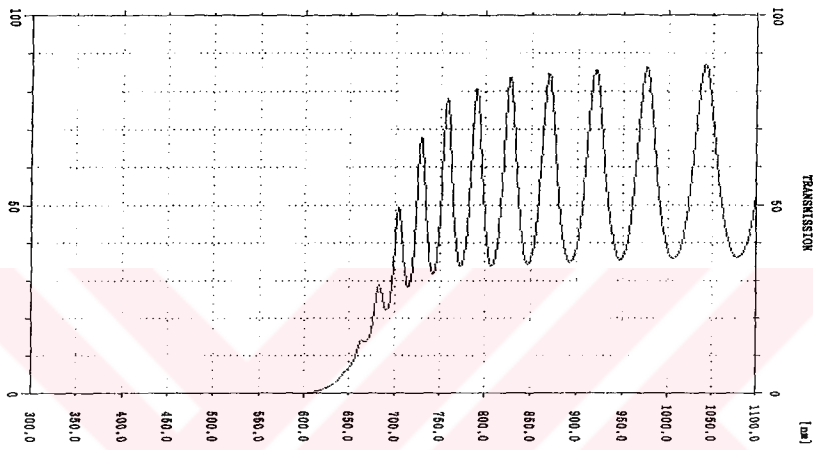
Şekil 4.1 Cam alt tabakanın spektrumu.



Şekil 4.2 MK-30 spektrumu.



Şekil 4.3 MK-36 spektrumu.



Şekil 4.4 MK-37 spektrumu.

Şekil 4.2'deki spektrum kullanılarak Çizelge 4.1., Şekil 4.3'deki spektrum kullanılarak Çizelge 4.3., Şekil 4.4'deki spektrum kullanılarak Çizelge 4.5. hesaplanmıştır.  
 Çizelge 4.1., Çizelge 4.3. ve Çizelge 4.5. aynı yöntem kullanılarak hesaplanmıştır.

Çizelge 4.1. Şekil 4.2'deki spektrum (MK30) için  $\lambda$ ,  $T_M$  ve  $T_m$  değerlerinden  $n$  ve  $d$ 'nin hesaplanması.

$\lambda(\text{nm})$	$T_M$	$T_m$	$n_1$	$d_1(\text{nm})$	$m$	$d_2(\text{nm})$	$n_2$	$n_{lr}$
1041,6	0,853	0,369	3,576		20	2913	3,581	3,565
1016,0	0,850	0,368	3,579		20,5	2910	3,580	3,568
991,6	0,846	0,367	3,581	2815	21	2908	3,579	3,572
968,8	0,842	0,367	3,579	2914	21,5	2910	3,580	3,575
946,8	0,838	0,365	3,584	2869	22	2906	3,580	3,579
926,4	0,834	0,364	3,585	2840	22,5	2907	3,583	3,583
906,8	0,831	0,363	3,588	2909	23	2906	3,585	3,586
888,8	0,827	0,362	3,593	2899	23,5	2906	3,590	3,590
870,8	0,821	0,360	3,596	2908	24	2906	3,592	3,594
854,4	0,815	0,359	3,598	2972	24,5	2909	3,598	3,598
838,4	0,810	0,358	3,595	3155	25	2915	3,603	3,601

$$d_{1\text{ort}}=2920 \text{ nm} \quad d_{2\text{ort}}=2909 \text{ nm}$$

Çizelge 4.1.'i elde ederken;

Şekil 4.2'deki spektrumun ölçülmesiyle elde edilen bilgiler;

Dalga Boyu (nm)	Veri (% T)
1098,0 (min)	37,3
1069,6 (max)	85,6
1041,6 (min)	36,9
1016,0 (max)	85,0
991,6 (min)	36,7
968,8 (max)	84,2
946,8 (min)	36,5
926,4 (max)	83,4
906,8 (min)	36,3
888,8 (max)	82,7
870,8 (min)	36,0
854,4 (max)	81,5
838,4 (min)	35,8
824,0 (max)	80,5
808,8 (min)	35,5
796,0 (max)	79,3
782,4 (min)	35,7
770,8 (max)	75,6
758,4 (min)	34,7
747,6 (max)	74,1
736,8 (min)	33,6
727,2 (max)	67,3
716,8 (min)	31,3
708,4 (max)	55,4
698,4 (min)	26,9
691,2 (max)	39,7
681,6 (min)	20,7
676,0 (max)	24,6
665,2 (min)	13,3
663,2 (max)	13,4

şeklindedir. Göründüğü gibi spektrometreden elde edilen değerler, her dalga boyunda ya minimum ya da maksimum geçiş genliği değeri içermektedir. Çizelge 4.1.'in hesaplanabilmesi için her dalga boyunda hem minimum, hem de maksimum geçiş genliği değeri gerekmektedir. Diğer taraftan, filmin kırılma indisini ve kalınlığını hesaplanırken söz konusu spektrumun sadece zayıf ve orta soğurma bölgesindeki geçiş genliği değerleri kullanılmaktadır. Bu yüzden Çizelge 4.1.'deki  $n$  (kırılma indisini) ve  $d$ 'nin (kalınlık) en yüksek doğrulukla hesaplanabilmesi için Şekil 4.2'deki spektrumun

zayıf ve orta soğurma bölgesindeki 11 geçiş genliği değeri kullanılmıştır. Çizelge 4.1. elde edilirken aynı dalga boyundaki  $T_M$  ve  $T_m$  değerleri;

Çizelge 4.2 MK-30 için  $T_M$  ve  $T_m$  değerleri.

$\lambda(\text{nm})$	$T_M$	$T_m$
1041,6	85,30	36,90
1016,0	85,00	36,80
991,6	84,60	36,70
968,8	84,20	36,65
946,8	83,80	36,50
926,4	83,40	36,40
906,8	83,10	36,30
888,8	82,70	36,15
870,8	82,10	36,00
854,4	81,50	35,85
838,4	81,00	35,80

Çizelge 4.2.'deki  $T_m$  değerleri  $R^2=0,991$  doğrulukla,  $T_M$  değerleri ise  $R^2=0,998$  doğrulukla elde edilmiştir. Çizelge 4.1.'de ise bu değerler bire normalize edilerek kullanılmıştır.

Her dalga boyu için  $T_M$  ve  $T_m$  değerleri bu şekilde elde edildikten sonra,  $T_s=0,91$  ve  $s=1,555$  değerleri kullanılarak Denk.3.19'dan her dalga boyunda N değeri ve bu değer kullanılarak Denk.3.18'den Çizelge 4.1.'deki  $n_1$  değerleri hesaplanır.

Elde edilen  $n_1$  değerleri ve Denk.2.81 kullanılarak Çizelge 4.1.'deki  $d_1$  değerleri elde edilir.  $\overline{d_1}$  değeri 2920 nm'dir.  $\overline{d_1}$  değeri  $n_1$  ile birlikte kullanılarak Denk.3.6'dan (Bragg Yasası) maksimum veya minimum noktalarının (extreme noktalarının) sıra numarası olan m değerlerini belirlemekte kullanılır. Elde edilen m değerleri yarı tam sayı veya tam sayı olarak yuvarlanarak Çizelge 4.1.'deki m değerleri sütunu elde edilir. Yarı tam sayı veya tam sayı olarak elde edilen m değerleri ile  $n_1$  değerleri Denk.3.6'da tekrar kullanılarak Çizelge 4.1.'deki  $d_2$  değerleri hesaplanır. m'nin değerlerindeki sapmalar  $\overline{d_2}$ 'da küçük bir sapma yaratır. Çizelge 4.1.'deki  $d_2$  değerlerinin ortalaması  $\overline{d_2}=2909$  nm'dir. m ve  $\overline{d_2}$  değerleri, Denk.3.6'da tekrar kullanılarak  $n_2$  değerleri hesaplanır.  $n_2$  değerleri ile  $n_{tr}$  değerleri arasında mükemmel bir uyum vardır.

Çizelge 4.1.'deki  $n_{tr}$  değerleri;  $n_2$  değerlerinin  $\lambda$ 'ya bağlı bir extrapolasyon fonksiyonuna fit edilmesiyle elde edilir.

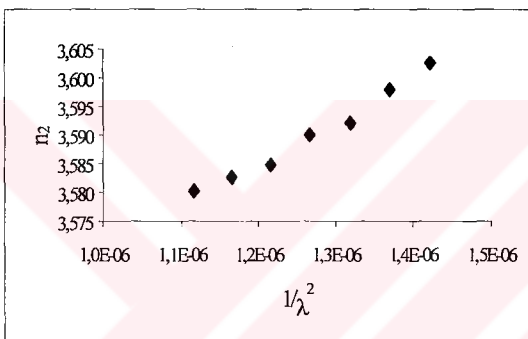
$$n = \frac{a}{\lambda^2} + c \cdot a \quad (4.1)$$

fonksiyonu kullanılarak  $n_2$  değerleri en küçük kareler yöntemi ile fit edilebilir.

Çizelge 4.1.'deki  $n_2$  değerlerinin  $1/\lambda^2$  ye karşı çizilmesiyle elde edilen doğru  $R^2=0,98$  doğrulukla

$$n = 73398 \frac{1}{\lambda^2} + 3,497 \quad (4.2)$$

şeklindedir. Denk.4.2'deki eşitlikte Çizelge 4.1.'deki  $\lambda$  değerlerinin yerine konulmasıyla  $n_{tr}$  değerleri elde edilir.



Şekil 4.5 MK-30 için  $n_2-1/\lambda^2$  grafiği.

Denk.4.2, kırılma indisinin doğrulukla belirlenmesinde kullanılan hemen hemen tam olarak teorik bir fonksiyondur. Bu fonksiyonun formu extrapolasyon yapmakta güvenli bir fonksiyondur, fakat deneysel değerlere daha iyi bir fit yapmak için Denk.4.2'ye  $b/\lambda$  teriminin eklenmesi daha iyi olur.

$m$  ve  $d$ 'nin değerleri basit bir grafik metodu ile de belirlenebilir. Birinci extreme noktasının sıra numarasının  $m_1$  olduğunu varsayıyalım. Bu durumda Denk.3.6,

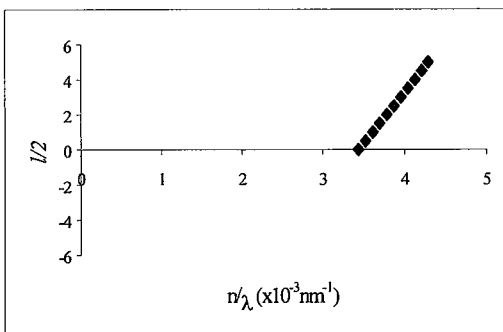
$$2nd = \left( m_1 + \frac{l}{2} \right) \lambda \quad l=0, 1, 2, 3, 4, \dots \quad (4.3)$$

olarak yazılır.

$$\frac{l}{2} = 2d \left( \frac{n}{\lambda} \right) - m_1 \quad (4.4)$$

Bu bir doğru denklemidir.  $\frac{l}{2}$  'nin  $\frac{n}{\lambda}$  ye karşı çizilmesiyle elde edilen doğrunun eğimi

$2d$ 'yi, doğrunun y eksenini  $(\frac{l}{2})$  kestiği nokta da  $-m_1$ 'i verir.



Şekil 4.6 Çizelge 4.1.'deki  $n_l$  ve  $\lambda$  değerleri için Denk.4.4'ün grafiği  $(l/2 - n/\lambda \times 10^{-3} nm^{-1})$  grafiği).

Şekil 4.6'daki grafiğin denklemi  $R^2 \sim 1$  doğrulukla  $l/2 = 5,8202(n/\lambda) - 20,01$  şeklindedir.

Bu denklemin Denk.4.4 ile karşılaştırıldığından  $m_l = 20$  elde edilir ki bu değer Bragg yasasından da elde edilmiş. Doğrunun eğimi de,

$Tan\alpha = 2d = 5,820 \times 10^3 \text{ nm} = 5820 \text{ nm} \Rightarrow$  buradan  $d = 2910 \text{ nm}$  olarak elde edilir ki bu da Çizelge 4.1.'de elde edilen  $\overline{d}_2$  değeri ile oldukça uyumludur.

Çizelge 4.3. Şekil 4.3'deki spektrum (MK36) için  $\lambda$ ,  $T_M$  ve  $T_m$  değerlerinden  $n$  ve  $d$ 'nin hesaplanması.

$\lambda$ (nm)	$T_M$	$T_m$	$n_1$	$d_1$ (nm)	$m$	$d_2$ (nm)	$n_2$	$n_{tr}$
1092,4	0,860	0,381	3,509		15	2335	3,507	3,494
1058,0	0,855	0,380	3,512		15,5	2335	3,510	3,500
1024,8	0,851	0,378	3,516	2279	16	2332	3,510	3,506
994,8	0,847	0,377	3,518	2308	16,5	2333	3,513	3,512
966,0	0,843	0,375	3,525	2292	17	2329	3,515	3,518
940,4	0,838	0,374	3,525	2350	17,5	2334	3,522	3,523
915,2	0,835	0,373	3,527	2441	18	2335	3,526	3,530
892,4	0,831	0,372	3,532	2386	18,5	2337	3,534	3,536
870,4	0,825	0,370	3,534	2423	19	2340	3,540	3,542
850,8	0,820	0,369	3,538	2505	19,5	2345	3,551	3,548
831,2	0,816	0,367	3,542	2489	20	2347	3,558	3,555

$$d_{1\text{ort}}=2386 \text{ nm} \quad d_{2\text{ort}}=2336 \text{ nm}$$

Çizelge 4.3.'ü elde ederken;

Şekil 4.3'deki spektrumun ölçülmesiyle elde edilen bilgiler;

Dalga Boyu (nm)	Veri (% T)
1092,4 (min)	38,1
1058,0 (max)	85,5
1024,8 (min)	37,8
994,8 (max)	84,7
966,0 (min)	37,5
940,4 (max)	83,8
915,2 (min)	37,3
892,4 (max)	83,1
870,4 (min)	37,0
850,8 (max)	82,0
831,2 (min)	36,7
813,6 (max)	80,8
796,4 (min)	36,4
781,2 (max)	78,5
765,2 (min)	36,5
752,0 (max)	75,2
738,4 (min)	34,3
726,8 (max)	66,4
714,0 (min)	31,0
704,4 (max)	50,8
692,0 (min)	25,0
684,0 (max)	32,4
671,6 (min)	16,7
666,8 (max)	17,4

şeklindedir. Çizelge 4.3.'deki  $n$  (kırılma indis) ve  $d$ 'nin (kalınlık) en yüksek doğrulukla hesaplanabilmesi için Şekil 4.3'deki spektrumun zayıf ve orta soğurma bölgesindeki 11 geçiş genliği değeri kullanılmıştır. Çizelge 4.3. elde edilirken aynı dalga boyundaki  $T_M$  ve  $T_m$  değerleri;

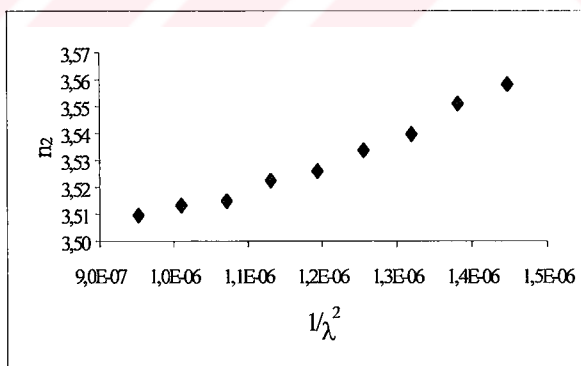
Çizelge 4.4. MK-36 için  $T_M$  ve  $T_m$  değerleri.

$\lambda(\text{nm})$	$T_M$	$T_m$
1092,4	86,00	38,10
1058,0	85,50	37,95
1024,8	85,10	37,80
994,8	84,70	37,70
966,0	84,30	37,50
940,4	83,80	37,40
915,2	83,46	37,30
892,4	83,10	37,15
870,4	82,50	37,00
850,8	82,00	36,85
831,2	81,60	36,70

Çizelge 4.3.'deki  $n_2$  değerlerinin  $1/\lambda^2$  ye karşı çizilmesiyle elde edilen doğru  $R^2=0,97$  doğrulukla

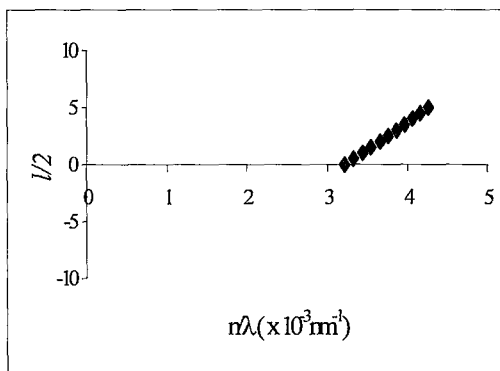
$$n = 99370 \frac{1}{\lambda^2} + 3,411 \quad (4.5)$$

şeklindedir.



Şekil 4.7 MK-36 için  $n_2-1/\lambda^2$  grafiği.

$m$  ve  $d$  değerlerini grafik metodu ile belirlemekte kullanılan  $\frac{l}{2} - \frac{n}{\lambda}$  grafiği Şekil 4.8'deki gibidir.



Şekil 4.8 Çizelge 4.3.'deki  $n_1$  ve  $\lambda$  değerleri için Denk.4.4'ün grafiğidir ( $l/2 - n/\lambda (\times 10^{-3} \text{ nm}^{-1})$  grafiği).

Şekil 4.8'deki grafiğin denklemi  $R^2 \sim 1$  doğrulukla  $l/2 = 4,764(n/\lambda) - 15,34$  şeklindedir.

Bu denklemin Denk.4.4 ile karşılaştırılmasından  $m_1 = 15$  olarak; doğrunun eğimini de,

$$\tan\alpha = 2d = 4,764 \times 10^3 \text{ nm} = 4764 \text{ nm} \Rightarrow \text{buradan } d = 2382 \text{ nm olarak elde edilir.}$$

Çizelge 4.5. Şekil 4.4'deki spektrum (MK37) için  $\lambda$ ,  $T_M$  ve  $T_m$  değerlerinden  $n$  ve  $d$ 'nin hesaplanması.

$\lambda(\text{nm})$	$T_M$	$T_m$	$n_1$	$d_1(\text{nm})$	$m$	$d_2(\text{nm})$	$n_2$	$n_{lf}$
1078,4	0,88	0,364	3,640		14	2074	3,6627	3,5902
1041,6	0,872	0,362	3,644		14,5	2072	3,6640	3,6028
1006,8	0,869	0,360	3,654	1969	15	2066	3,6638	3,616
975,6	0,865	0,358	3,661	1971	15,5	2065	3,6686	3,6291
945,6	0,861	0,355	3,679	1918	16	2056	3,6705	3,6429
918,8	0,858	0,353	3,688	1912	16,5	2055	3,6779	3,6564
893,2	0,852	0,351	3,695	2023	17	2054	3,6837	3,6704
869,6	0,849	0,348	3,711	1975	17,5	2051	3,6919	3,6845
847,6	0,845	0,346	3,722	1968	18	2049	3,7013	3,6987
827,2	0,839	0,344	3,733	2038	18,5	2050	3,7126	3,7128
807,6	0,8345	0,341	3,745	2031	19	2048	3,7226	3,7275
790,0	0,808	0,340	3,719	2556	19,5	2071	3,7373	3,7416
772,8	0,803	0,340	3,713	2996	20	2081	3,7496	3,7563
757,6	0,781	0,335	3,720	2468	20,5	2087	3,7678	3,7701
742,4	0,7462	0,319	3,796	1622	21	2054	3,7822	3,7848
729,2	0,678	0,303	3,821	1518	21,5	2051	3,8034	3,7983
715,6	0,598	0,285	3,830	2086	22	2055	3,8193	3,813
704,8	0,493	0,258	3,839	2413	22,5	2065	3,8472	3,8253

$$d_{1\text{ort}} = 2091 \text{ nm} \quad d_{2\text{ort}} = 2061 \text{ nm}$$

Çizelge 4.5.'i elde ederken;

Şekil 4.4'deki spektrumun ölçülmesiyle elde edilen bilgiler;

Dalga Boyu (nm)	Veri (% T)
1078,4 (min)	36,4
1041,6 (max)	87,2
1006,8 (min)	36,0
975,6 (max)	86,5
945,6 (min)	35,5
918,8 (max)	85,8
893,2 (min)	35,1
869,6 (max)	84,9
847,6 (min)	34,6
827,2 (max)	83,9
807,6 (min)	34,1
790,0 (max)	80,8
772,8 (min)	34,0
757,6 (max)	78,1
742,4 (min)	31,9
729,2 (max)	67,8
715,6 (min)	28,5
704,8 (max)	49,3
691,2 (min)	22,3
682,8 (max)	29,0
668,4 (min)	14,0
664,8 (max)	14,3

şeklindedir. Çizelge 4.5.'deki  $n$  (kırılma indis) ve  $d$ 'nin (kalınlık) en yüksek doğrulukla hesaplanabilmesi için Şekil 4.4'deki spektrumun zayıf ve orta soğurma bölgesindeki 18 geçiş genliği değeri kullanılmıştır. Çizelge 4.5. elde edilirken aynı dalga boyundaki  $T_M$  ve  $T_m$  değerleri;

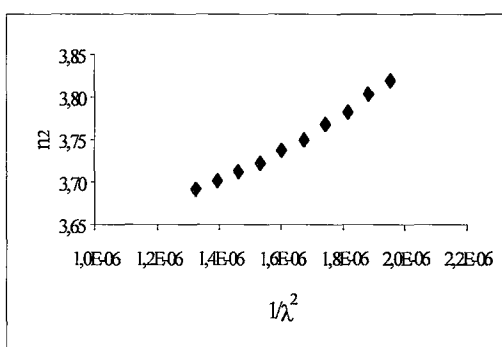
Çizelge 4.6. MK-37 için  $T_M$  ve  $T_m$  değerleri.

$\lambda(\text{nm})$	$T_M$	$T_m$
1078,4	88,00	36,40
1041,6	87,20	36,20
1006,8	86,90	36,00
975,6	86,50	35,83
945,6	86,10	35,50
918,8	85,80	35,31
893,2	85,20	35,10
869,6	84,90	34,83
847,6	84,50	34,60
827,2	83,90	34,35
807,6	83,45	34,10
790,0	80,80	34,00
772,8	80,30	34,00
757,6	78,10	33,50
742,4	74,62	31,90
729,2	67,80	30,30
715,6	59,80	28,50
704,8	49,30	25,80

Çizelge 4.5.'deki  $n_2$  değerlerinin  $1/\lambda^2$  'ye karşı çizilmesiyle elde edilen doğru  $R^2=0,99$  doğrulukla

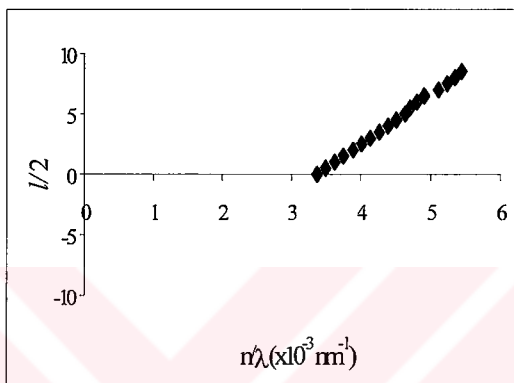
$$n = 203937 \frac{1}{\lambda^2} + 3,4148 \quad (4.6)$$

şeklindedir.



Şekil 4.9 MK-37 için  $n_2$ - $1/\lambda^2$  grafiği.

$m$  ve  $d$  değerlerini grafik metodu ile belirlemekte kullanılan  $\frac{l}{2} - \frac{n}{\lambda}$  grafiği Şekil 4.10'daki gibidir.



Şekil 4.10 Çizelge 4.5.'deki  $n_1$  ve  $\lambda$  değerleri için Denk.4.4'ün grafiğidir ( $l/2 - n/\lambda \left( \times 10^3 \text{ nm}^{-1} \right)$  grafiği).

Şekil 4.10'daki grafiğin denklemi  $R^2 \sim 1$  doğrulukla  $l/2 = 4,108(n/\lambda) - 13,94$  şeklindedir. Bu denklemin Denk.4.4 ile karşılaştırılmasından  $m_1 = 14$  olarak; doğrunun eğimini de,  $Tan\alpha = 2d = 4,108 \times 10^3 \text{ nm} = 4108 \text{ nm} \Rightarrow$  buradan  $d = 2054 \text{ nm}$  olarak elde edilir.

### 4.3 Soğurma Sabitinin Belirlenmesi

Denk.4.2, 4.5 ve 4.6 denklemlerini kullanarak Çizelge 4.1., Çizelge 4.3. ve Çizelge 4.5.'deki bütün dalga boyu değerleri için  $n_{tr}$  değerleri hesaplanabilir. Bu şekilde  $n(\lambda)$  değerleri belirlenebildiğinden,  $T_M$ ,  $T_a$ ,  $T_i$  ve  $T_m$  eğrilerine karşı gelen denklemlerin herhangi birinden  $x(\lambda)$  belirlenebilir. Denk.2.70 kullanılarak  $x(\lambda)$  ve  $d$  (kalınlık)'den  $\alpha(\lambda)$  belirlenebilir. Extreme noktalarda hesaplanan  $\alpha$  değerleri MK-30 için Çizelge 4.7'de, MK-36 için Çizelge 4.8'de ve MK-37 için Çizelge 4.9'da gösterilmiştir.

Çizelge 4.7. MK-30 için soğurma katsayısı ( $\alpha$ ) değerleri.

$\lambda(\text{nm})$	$n_{tr}$	$x_{T_M}$	$\alpha_{T_M}$	$x_{T_a}$	$\alpha_{T_a}$	$x_{T_i}$	$\alpha_{T_i}$	$x_{T_m}$	$\alpha_{T_m}$
1098,0	3,558	0,961	135	0,962	132	0,963	131	0,964	126
1069,6	3,561	0,962	134	0,961	138	0,960	140	0,958	147
1041,6	3,565	0,960	139	0,958	148	0,956	153	0,953	167
1016,0	3,568	0,957	150	0,955	157	0,954	161	0,951	173
991,6	3,572	0,956	156	0,954	163	0,952	168	0,949	179
968,8	3,575	0,952	170	0,951	173	0,951	174	0,949	178
946,8	3,579	0,949	181	0,948	184	0,947	186	0,946	191
926,4	3,583	0,946	191	0,945	193	0,945	194	0,944	198
906,8	3,586	0,944	199	0,943	201	0,943	201	0,943	204
888,8	3,590	0,941	210	0,940	212	0,940	213	0,939	217
870,8	3,594	0,936	226	0,936	227	0,936	228	0,935	230
854,4	3,598	0,932	242	0,932	242	0,932	242	0,932	243
838,4	3,601	0,928	256	0,929	251	0,930	249	0,932	242
824,0	3,605	0,925	269	0,926	263	0,928	259	0,930	248
808,8	3,609	0,920	286	0,922	280	0,923	277	0,925	268
796,0	3,613	0,916	302	0,917	298	0,918	296	0,919	289
782,4	3,617	0,891	398	0,905	344	0,913	312	0,937	223
770,8	3,621	0,888	410	0,899	367	0,905	342	0,924	273
758,4	3,625	0,881	434	0,888	408	0,892	393	0,903	351
747,6	3,628	0,873	467	0,877	451	0,879	442	0,886	416
736,8	3,632	0,824	663	0,837	610	0,844	581	0,866	496
727,2	3,636	0,821	677	0,823	669	0,824	665	0,827	653
716,8	3,640	0,804	751	0,798	776	0,795	790	0,786	828
708,4	3,643	0,717	1144	0,724	1108	0,728	1092	0,739	1040
698,4	3,647	0,638	1546	0,639	1537	0,640	1534	0,642	1521
691,2	3,651	0,559	1997	0,546	2078	0,542	2104	0,526	2208
681,6	3,655	0,473	2573	0,469	2604	0,468	2612	0,463	2650
676,0	3,658	0,380	3326	0,379	3332	0,379	3333	0,379	3339
665,2	3,663	0,289	4264	0,284	4332	0,283	4343	0,276	4420
663,2	3,664	0,223	5151	0,234	5000	0,234	4987	0,246	4815

Çizelge 4.8. MK-36 için soğurma katsayısı ( $\alpha$ ) değerleri.

$\lambda(\text{nm})$	$n_{\text{tr}}$	$x_{T_M}$	$\alpha_{T_M}$	$x_{T_u}$	$\alpha_{T_u}$	$x_{T_l}$	$\alpha_{T_l}$	$x_{T_m}$	$\alpha_{T_m}$
1092,4	3,5482	0,971	130	0,969	136	0,968	141	0,966	152
1058,0	3,5529	0,967	146	0,966	151	0,965	155	0,963	164
1024,8	3,5579	0,964	159	0,963	164	0,962	167	0,960	176
994,8	3,5628	0,961	172	0,961	174	0,960	176	0,960	179
966,0	3,568	0,958	185	0,957	190	0,957	192	0,955	199
940,4	3,5731	0,955	202	0,954	202	0,954	202	0,954	203
915,2	3,5784	0,952	213	0,953	211	0,953	209	0,954	205
892,4	3,5837	0,949	225	0,950	223	0,950	221	0,951	217
870,4	3,5892	0,945	245	0,946	240	0,947	237	0,949	228
850,8	3,5944	0,941	262	0,943	255	0,944	251	0,946	240
831,2	3,6000	0,938	276	0,940	268	0,941	263	0,944	251
813,6	3,6054	0,932	303	0,936	288	0,938	279	0,943	254
796,4	3,6110	0,929	321	0,932	306	0,934	298	0,939	274
781,2	3,6163	0,915	385	0,922	353	0,926	333	0,937	281
765,2	3,6221	0,905	433	0,918	369	0,926	331	0,949	227
752,0	3,6273	0,890	508	0,901	454	0,907	423	0,925	337
738,4	3,6329	0,870	603	0,871	599	0,871	597	0,873	591
726,8	3,6379	0,818	872	0,825	835	0,828	817	0,839	760
714,0	3,6437	0,744	1283	0,750	1247	0,753	1231	0,762	1178
704,4	3,6483	0,676	1699	0,672	1722	0,671	1730	0,666	1762
692,0	3,6545	0,575	2399	0,576	2394	0,576	2392	0,577	2385
684,0	3,6587	0,478	3206	0,476	3221	0,476	3224	0,474	3243
671,6	3,6655	0,366	4359	0,362	4413	0,361	4423	0,356	4486
666,8	3,6682	0,282	5488	0,296	5283	0,297	5260	0,314	5019

Çizelge 4.9. MK-37 için soğurma katsayısı ( $\alpha$ ) değerleri.

$\lambda(\text{nm})$	$n_{\text{tr}}$	$x_{T_M}$	$\alpha_{T_M}$	$x_{T_u}$	$\alpha_{T_u}$	$x_{T_l}$	$\alpha_{T_l}$	$x_{T_m}$	$\alpha_{T_m}$
1078,4	3,6835	0,986	71	0,984	77	0,984	81	0,982	90
1041,6	3,6932	0,980	99	0,980	100	0,980	100	0,980	101
1006,8	3,7033	0,978	110	0,978	110	0,978	110	0,978	110
975,6	3,7134	0,975	124	0,976	121	0,976	119	0,977	115
945,6	3,724	0,972	138	0,972	142	0,971	144	0,970	151
918,8	3,7344	0,970	148	0,970	151	0,969	153	0,968	159
893,2	3,7452	0,966	169	0,966	170	0,966	170	0,966	170
869,6	3,756	0,964	180	0,963	184	0,963	187	0,961	194
847,6	3,7669	0,961	194	0,960	199	0,960	202	0,958	210
827,2	3,7778	0,957	215	0,956	220	0,956	223	0,954	231
807,6	3,7891	0,954	231	0,953	237	0,952	241	0,950	252
790,0	3,7999	0,935	330	0,940	304	0,944	286	0,952	240
772,8	3,8112	0,932	349	0,939	307	0,945	278	0,959	206
757,6	3,8218	0,916	434	0,924	390	0,929	360	0,944	285
742,4	3,8332	0,890	576	0,887	587	0,886	595	0,883	614
729,2	3,8435	0,836	881	0,832	904	0,830	918	0,823	956
715,6	3,8549	0,769	1292	0,766	1313	0,764	1325	0,759	1357
704,8	3,8643	0,672	1954	0,669	1973	0,668	1982	0,664	2010
691,2	3,8769	0,545	2986	0,547	2964	0,548	2957	0,551	2927
682,8	3,885	0,449	3932	0,452	3908	0,452	3902	0,455	3871
668,4	3,8996	0,359	5038	0,340	5302	0,336	5363	0,316	5667
664,8	3,9035	0,247	6866	0,257	6678	0,258	6656	0,270	6437

$\alpha$  soğurma sabitindeki artış oranı fotonun enerjisine ( $h\nu$ ) bağlı olarak değişir.

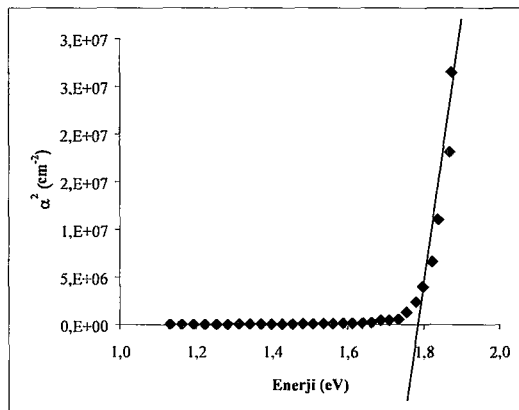
$$\alpha \propto (h\nu - E_g)^x \quad (4.7)$$

Aşağıda Çizelge 4.7., Çizelge 4.8. ve Çizelge 4.9.'da elde edilen  $\alpha_{T_u}$  değerleri kullanılarak çizilen  $\alpha^2 - h\nu$  grafikleri gösterilmektedir.

Çizelge 4.10. MK-30 için enerji ( $h\nu$ )-soğurma katsayısı ( $\alpha$ ) değerleri.

$\lambda(\text{nm})$	E(eV)	$\alpha_{T_M}$	$\alpha^2$
1098,0	1,131	135	18244
1069,6	1,161	134	18043
1041,6	1,193	139	19434
1016,0	1,223	150	22413
991,6	1,253	156	24417
968,8	1,282	170	29057
946,8	1,312	181	32631
926,4	1,341	191	36634
906,8	1,370	199	39706
888,8	1,398	210	44035
870,8	1,427	226	51028
854,4	1,454	242	58602
838,4	1,482	256	65346
824,0	1,508	269	72510
808,8	1,536	286	81679
796,0	1,561	302	91495
782,4	1,588	398	158572
770,8	1,612	410	168019
758,4	1,638	434	188155
747,6	1,662	467	218333
736,8	1,686	663	440220
727,2	1,708	677	458185
716,8	1,733	751	563968
708,4	1,754	1144	1308830
698,4	1,779	1546	2390431
691,2	1,797	1997	3989451
681,6	1,823	2573	6621262
676,0	1,838	3326	11064377
665,2	1,868	4264	18180802
663,2	1,873	5151	26530002

Çizelge 4.10.'daki E ve  $\alpha^2$  değerleri kullanılarak elde edilen grafik aşağıdaki gibidir. Burada düşey eksen  $\alpha$  değerleri, yatay eksen E değerleridir. Elde edilen grafiğin yatay eksene doğru tegetinin çizilmesiyle, yatay eksende elde edilen enerji değeri  $E_g$  değerini verir.

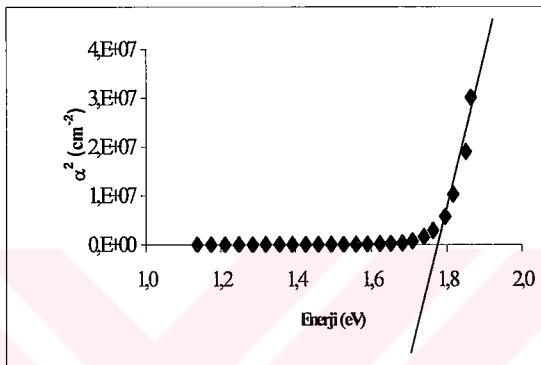


Şekil 4.11 Çizelge 4.10'daki  $\alpha_{T_M}$  ve E değerleri için  $\alpha^2 - h\nu$  grafiği.

Cizelge 4.11. MK-36 için enerji ( $h\nu$ )-soğurma katsayısı ( $\alpha$ ) değerleri.

$\lambda(\text{nm})$	E(eV)	$\alpha_{T_M}$	$\alpha^2$
1092,4	1,137	130	16776
1058,0	1,174	146	21270
1024,8	1,212	159	25256
994,8	1,249	172	29603
966,0	1,286	185	34312
940,4	1,321	202	40744
915,2	1,357	213	45418
892,4	1,392	225	50670
870,4	1,427	245	60194
850,8	1,460	262	68797
831,2	1,495	276	76087
813,6	1,527	303	92101
796,4	1,560	321	102976
781,2	1,590	385	148252
765,2	1,623	433	187609
752,0	1,652	508	257589
738,4	1,682	603	363712
726,8	1,709	872	760649
714,0	1,740	1283	1645659
704,4	1,764	1699	2886845
692,0	1,795	2399	5757596
684,0	1,816	3206	10277366
671,6	1,850	4359	19000355
666,8	1,863	5488	30121520

Çizelge 4.11.'deki E ve  $\alpha^2$  değerleri kullanılarak elde edilen grafik aşağıdaki gibidir. Burada düşey eksen  $\alpha$  değerleri, yatay eksen E değerleridir. Elde edilen grafiğin yatay eksene doğru teğetinin çizilmesiyle, yatay eksende elde edilen enerji değeri  $E_g$  değerini verir.

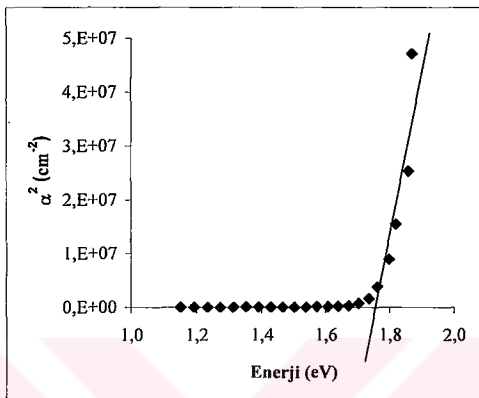


Şekil 4.12 Çizelge 4.11'deki  $\alpha_{T_M}$  ve E değerleri için  $\alpha^2 - h\nu$  grafiği.

Çizelge 4.12. MK-37 için enerji ( $h\nu$ )-soğurma katsayısı ( $\alpha$ ) değerleri.

$\lambda(\text{nm})$	E(eV)	$\alpha_{T_M}$	$\alpha^2$
1078,4	1,152	71	5100
1041,6	1,193	99	9881
1006,8	1,234	110	12058
975,6	1,273	124	15321
945,6	1,314	138	18977
918,8	1,352	148	21958
893,2	1,391	169	28698
869,6	1,429	180	32346
847,6	1,466	194	37607
827,2	1,502	215	46370
807,6	1,538	231	53508
790,0	1,573	330	108990
772,8	1,608	349	121486
757,6	1,640	434	188296
742,4	1,673	576	331357
729,2	1,704	881	775492
715,6	1,736	1292	1670412
704,8	1,763	1954	3819570
691,2	1,797	2986	8917888
682,8	1,819	3932	15461537
668,4	1,859	5038	25385162
664,8	1,869	6866	47146602

Çizelge 4.12.'deki E ve  $\alpha^2$  değerleri kullanılarak elde edilen grafik aşağıdaki gibidir.



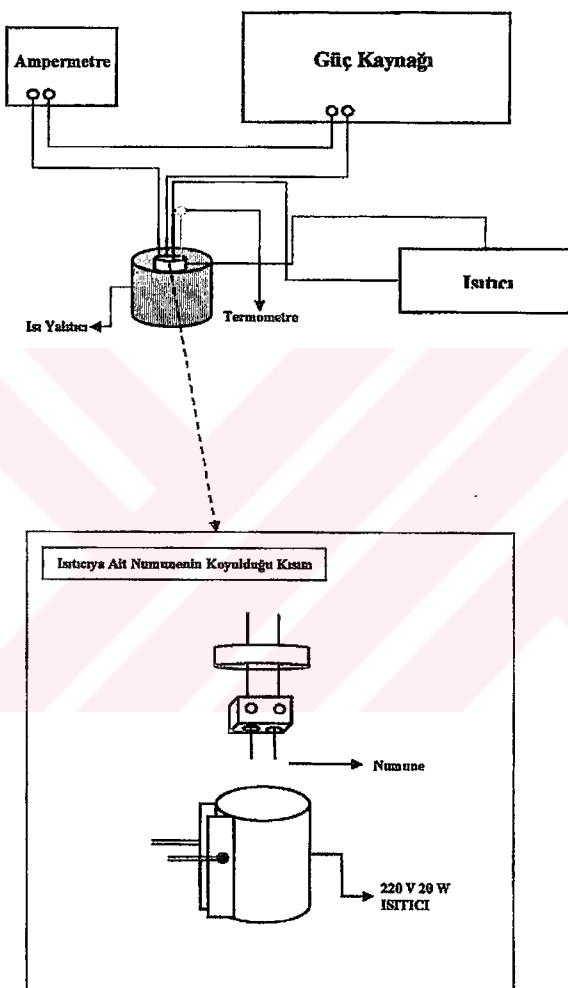
Şekil 4.13 Çizelge 4.12'deki  $\alpha_{T_M}$  ve E değerleri için  $\alpha^2 - h\nu$  grafiği.

Şekil 4.11, 4.12 ve 4.13 incelendiğinde MK-30 için  $E_g=1,76$  eV, MK-36 için  $E_g=1,78$  eV, MK-37 için  $E_g=1,75$  eV olarak elde edilir.

#### **4.4 İletkenliğin Belirlenmesi**

İnce filmlerin iletkenliklerinin sıcaklıkla değişimini incelemek için kullanılan deney düzeneği Şekil 4.14'de gösterilmiştir.

Numunelerin her iki ucundan omik kontak alınmış ve numuneler bir ısıticının içine Şekil 4.14'deki gibi yerleştirilmiştir. Isıtıcı da, ısı kaybı olmaması için bir yalıtm kabının içerisine konulmuştur. Numuneye gerilim uygulamak için güç kaynağı kullanılmıştır. Numunenin uçlarından geçen akımı ölçmek için de ampermetre devreye seri bağlanmıştır. Her numuneye 75 V değerinde sabit bir gerilim uygulanmıştır. Sıcaklık 40 °C'den 100 °C'ye kadar 5 °C aralıklarla artırılmış ve her sıcaklık değeri için devreden geçen akım ölçülmüş ve iletkenlik Denk.3.38 kullanılarak hesaplanmıştır. Bu ölçüm MK-30 ve MK-37 ince filmleri için tekrarlanmıştır. MK-30 için iletkenlik ölçümleri Çizelge 4.13'de, MK-37 için iletkenlik ölçümleri de Çizelge 4.14'de sunulmuştur.



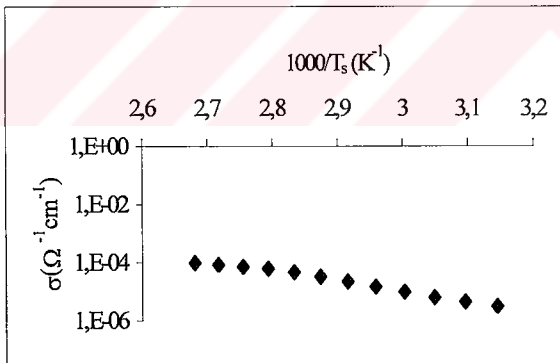
Şekil 4.14 Sıcaklık-akım ölçüm düzeneği.

Çizelge 4.13. MK-30 için iletkenlik ölçümüleri.

T(°C)	I(A)	V(volt)	R(ohm)	w(cm)	t(cm)	L(cm)	$\rho$	$\sigma$
45	1,01E-07	75	7,46E+08	0,3	2,91E-04	0,2	3,25E+05	3,07E-06
50	1,43E-07	75	5,26E+08	0,3	2,91E-04	0,2	2,29E+05	4,36E-06
55	2,07E-07	75	3,62E+08	0,3	2,91E-04	0,2	1,58E+05	6,33E-06
60	3,15E-07	75	2,38E+08	0,3	2,91E-04	0,2	1,04E+05	9,63E-06
65	4,76E-07	75	1,58E+08	0,3	2,91E-04	0,2	6,88E+04	1,45E-05
70	7,32E-07	75	1,02E+08	0,3	2,91E-04	0,2	4,47E+04	2,24E-05
75	1,07E-06	75	7,01E+07	0,3	2,91E-04	0,2	3,06E+04	3,27E-05
80	1,52E-06	75	4,92E+07	0,3	2,91E-04	0,2	2,15E+04	4,65E-05
85	2,03E-06	75	3,70E+07	0,3	2,91E-04	0,2	1,62E+04	6,19E-05
90	2,32E-06	75	3,23E+07	0,3	2,91E-04	0,2	1,41E+04	7,09E-05
95	2,75E-06	75	2,73E+07	0,3	2,91E-04	0,2	1,19E+04	8,40E-05
100	3,16E-06	75	2,37E+07	0,3	2,91E-04	0,2	1,04E+04	9,66E-05

Yukarıdaki çizelgede  $\sigma$  ve  $\delta$  değerleri hesaplanırken sıcaklık Kelvin (K) olarak dönüştürülmüşdür.

Çizelge 4.13'deki T ve  $\sigma$  değerleri kullanılarak  $\ln\sigma-1/T$  değerleri elde edilmiş ve  $\ln\sigma-1/T$  grafiği çizilmiştir. Elde edilen doğrunun eğimi Denk.3.42 ile karşılaştırıldığında  $E_a/k$  ya eşit olup, buradan  $E_a$  hesaplanmıştır.



Şekil 4.15 MK-30 için  $\ln\sigma-1/T$  grafiği.

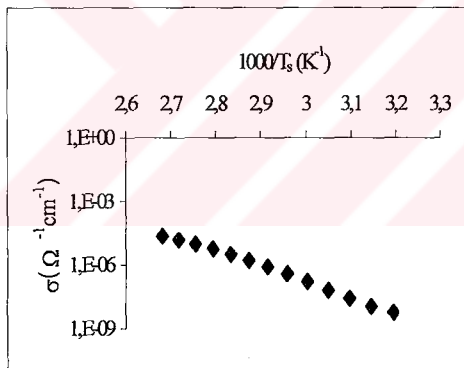
Şekil 4.15'te elde edilen doğrunun eğiminden  $E_a=0,68$  eV olarak hesaplanır.

Benzer hesaplamalar MK-37 için de yapılmıştır.

Çizelge 4.14. MK-37 için iletkenlik ölçümleri.

T(°C)	I(A)	V(volt)	R(ohm)	w(cm)	t(cm)	L(cm)	$\rho$	$\sigma$
40	1,3E-10	75	5,77E+11	0,3	2,06E-04	0,2	1,78E+08	5,61E-09
45	2,5E-10	75	3,00E+11	0,3	2,06E-04	0,2	9,27E+07	1,08E-08
50	6,0E-10	75	1,25E+11	0,3	2,06E-04	0,2	3,86E+07	2,59E-08
55	1,5E-09	75	5,00E+10	0,3	2,06E-04	0,2	1,55E+07	6,47E-08
60	3,8E-09	75	1,97E+10	0,3	2,06E-04	0,2	6,10E+06	1,64E-07
65	8,9E-09	75	8,43E+09	0,3	2,06E-04	0,2	2,61E+06	3,84E-07
70	1,9E-08	75	4,03E+09	0,3	2,06E-04	0,2	1,25E+06	8,02E-07
75	3,8E-08	75	1,99E+09	0,3	2,06E-04	0,2	6,15E+05	1,63E-06
80	7,4E-08	75	1,02E+09	0,3	2,06E-04	0,2	3,15E+05	3,17E-06
85	1,3E-07	75	5,66E+08	0,3	2,06E-04	0,2	1,75E+05	5,71E-06
90	2,2E-07	75	3,40E+08	0,3	2,06E-04	0,2	1,05E+05	9,53E-06
95	3,5E-07	75	2,11E+08	0,3	2,06E-04	0,2	6,54E+04	1,53E-05
100	5,3E-07	75	1,40E+08	0,3	2,06E-04	0,2	4,34E+04	2,31E-05

Çizelge 4.14'e göre hesaplanan  $\ln\sigma-1/T$  değerlerinden çizilen grafik aşağıdaki gibidir.



Şekil 4.16 MK-37 için  $\ln\sigma-1/T$  grafiği.

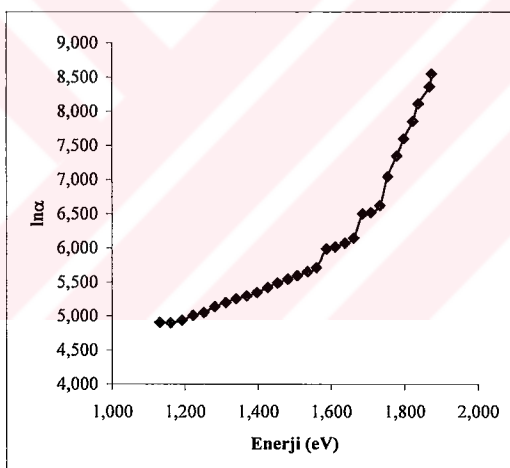
Şekil 4.16'da elde edilen doğrunun eğiminden  $E_a=1,45$  eV olarak hesaplanır.

#### 4.5 Urbah Sabiti $E_0$ 'nın Tanımlanması

Parabolik bantlar arasındaki direk geçişler için, teori çok yavaş artan bir soğurma kiyisi ve enerji bant aralığının altında soğurma olmamasını öngörür. Pratikte,  $E_g$  yakınılarında soğurma sabitleri üstel olarak artar; bu deneysel bir sonuçtur ve Urbah Yasası olarak da bilinir.

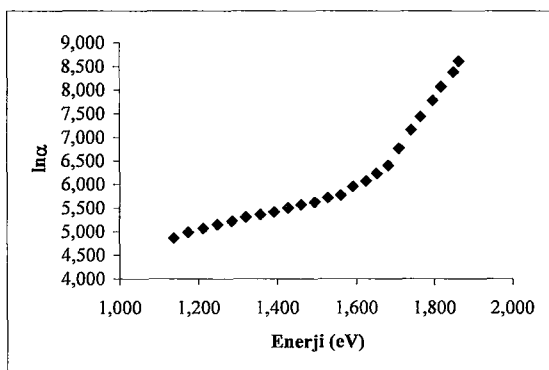
Urbah, bir çok malzemede  $d \ln(\alpha)/d(h\nu) \cong 1/E_0 = -\frac{1}{kT}$  olduğunu ortaya koymuştur.

Aşağıda Şekil 4.17, 4.18 ve 4.19'da verilen grafikler yarı logaritmik olarak çizilen soğurma sabiti enerji grafikleridir. Bu grafiklerin orta bölgesindeki düz kısmın eğiminden MK-30, MK-36 ve MK-37 için  $E_0$  (Urbah Sabiti) hesaplanmıştır.



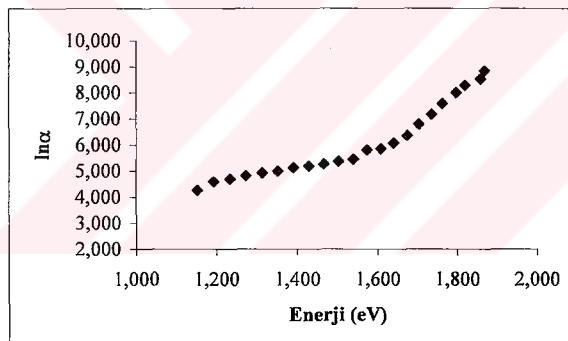
Şekil 4.17 MK-30 için  $\ln\alpha-h\nu$  grafiği.

Yukarıdaki grafikten MK-30 için  $E_0=185$  meV olarak elde edilmiştir.



Şekil 4.18 MK-36 için  $\ln \alpha$ -hv grafiği.

Yukarıdaki grafikten MK-36 için  $E_0=360$  meV olarak elde edilmiştir.



Şekil 4.19 MK-37 için  $\ln \alpha$ -hv grafiği.

Yukarıdaki grafikten MK-37 için  $E_0=233$  meV olarak elde edilmiştir.

## 5. SONUÇ

Bu çalışmada saf amorf silikon ince filmlerin optik sabitlerinin belirlenebilmesi amacıyla, 600-1100 nm dalga boyu aralığında UV-VIS spektrumları alınmıştır. Elde edilen spektrumlar her bir dalga boyunda ölçülen T geçiş genliği değerlerini içerir. Bu T değerleri Maxwell denklemlerini temel alan optik bağıntılarda kullanılarak filmlerin kırılma indisini ( $n$ ) ve kalınlığı ( $d$ ) hesaplanmıştır. Böylece ortalama kalınlık değerleri MK-30 için 2,9  $\mu\text{m}$ , MK-36 için 2,3  $\mu\text{m}$  ve MK-37 için de 2,1  $\mu\text{m}$  olarak belirlenmiştir.

Diğer taraftan filmlerin kalınlığı, Bragg yasasını temel alan grafik metodu olarak bilinen diğer bir yöntemle de belirlenerek karşılaştırılmış ve filmlerin kalınlıkları her iki yöntemle oldukça uyumlu olarak elde edilmiştir.

Filmin kırılma indisinin ve kalınlığının belirlenmesinden sonra, her bir dalga boyunda soğurma sabitleri hesaplanmıştır. Soğurma sabitinin karesi,  $E_g$  enerji bant aralığına ve  $hv$  foton enerjisine  $\alpha = \alpha_0(hv - E_g)^{\epsilon}$  ile bağlıdır. Burada  $\epsilon$  direk izinli geçişler için  $\frac{1}{2}$  olduğundan, ince filmlerin  $\alpha^2 - hv$  grafikleri çizilerek bu eğrinin  $\alpha^2 = 0$ 'a extrapolasyonundan  $E_g$  değeri hesaplanmıştır. Böylece enerji bant aralığı MK-30 için  $E_g=1,76$  eV, MK-36 için  $E_g=1,78$  eV ve MK-37 için  $E_g=1,75$  eV olarak belirlenmiştir.

Diğer taraftan  $\alpha$ 'nın  $hv$ 'ye karşı yarı logaritmik grafiği çizilerek ( $\ln\alpha - hv$ ), elde edilen eğrinin, filmin enerji band aralığı bölgesindeki kuyruk kısmının eğiminden Urbach sabiti  $E_0$  hesaplanmıştır. Buradan MK-30 için  $E_0=185$  meV, MK-36 için  $E_0=360$  meV ve MK-37 için  $E_0=233$  meV olarak bulunmuştur.

Ayrıca bu çalışmada ince filmlerin iletkenliklerinin sıcaklıkla değişimi incelenmiştir. Ince filmlerin 40°C -100°C aralığında sıcaklık 5°C arttırılarak, 75 V sabit gerilimde her bir sıcaklık değerindeki akım değeri ölçülerek iletkenlikleri hesaplanmış ve iletkenliğin  $1/T$ 'ye karşı grafiği çizilmiştir. Sıcaklığın artmasıyla iletkenliğinde arttığı gözlenmiştir. Bu beklenen bir sonuktur; çünkü sıcaklığın artmasıyla elektronların da enerjisi artar ve böylece daha fazla elektron yasak enerji aralığını atlayarak iletme katılır, bu ad iletkenliğin artmasına neden olur.  $\ln\sigma - 1/T$  grafiğinin eğiminden ayrıca ince filmerin aktivasyon enerjileri  $E_a$  hesaplanmıştır. Buradan MK-30 için  $E_a=0,68$  eV ve MK-37 için  $E_a=1,48$  eV olarak elde edilmiştir.

## KAYNAKLAR

- Eckertova, L., 1986. Physics of Tin Films. Plenum Press. Second Edition; 233-237
- Helmut, F.W., 1971. Semiconductors. New York, Wiley-Interscience.
- Hyde, F.J., 1965. Semiconductors. London, Mcdonald.
- Kazmerski, L.L., 1980. Polycrystalline and Amorphous Thin Films and Devices New York Academic Press.
- Knittl, Z. 1976. Optics of Thin Films: An Optical Multilayer. London, Wiley.
- Heavens, O.S., 1991. Optical Properties of Thin Solid Films. New York, Dover Publications.
- Heavens, O.S., 1970. Thin Film Physics. London Mehtuen.
- Palik, E.D., 1991. Handbook of Optical Constants of Solids II. Boston:Academic Press.
- Swanepoel, R. 1983. Determination of The Thickness and Optical Constants of Amorphous Silicon. J. Phys. E:Sci. Instrum., Vol. 16, 1214-1222.
- Manifacier, J.C., Gasiot, J., Fillard, J.P., 1976. J. Phys. E: Sci. Instrum., Vol. 9, 1002-1004.
- Swanepoel, R., 1984. J. Phys. E: Sci. Instrum., Vol. 17, 896-903.
- Freeman, E.C., Paul, W., 1979. Physical Review B. Vol. 20, Number 2. 716-728.
- Wales, J., Lovitt, G.J., Hill, R.A., 1967. Thin Solid Films. Vol. 1, 137-150.
- Minkov, D.A., 1989. J. Phys. D: Appl. Phys. Vol. 22, 199-205.
- Salem, A.M., 2003. J. Phys. D: Appl. Phys. Vol. 36, 1030-1035.
- Natsume, Y., Sokata, H., 2000. Thin Solid Films. Vol. 372, 30-36.
- Muthukumarasamy, N., Jayakumar, S., Kannan, M.D., Balasundaraprabhu, R., Ramanathaswamy, P., 2004. Journal of Crystal Growth. Vol. 263, 308-315.
- Varghese, S., Iyape, M., Mathew, E.J., Menon, C.S., 2002. Material Letters. Vol. 56, 1078-1083.
- Bhavsar, D.S., Saraf, K.B., 2003. Materials Chemistry and Physics. Vol. 78, 630-636.
- Boakye, F., Nusenu, D., 1997. Solid State Communications. Vol. 102, 323-326.
- Dakhel, A.A., 2003. Materials Chemistry and Physics. (Material in Press).

## EKLER

### EK-1

$$\begin{aligned}
 & \Rightarrow \left[ \frac{1}{\mu_0} \left( \vec{k} \times \vec{E}_0 + \vec{k}'' \times \vec{E}_0'' \right) - \frac{1}{\mu_1} \left( \vec{k}' \times \vec{E}_0' \right) \right] \times \vec{n} = 0 \\
 & \frac{1}{\mu_0} \left[ (\vec{k} \times \vec{E}_0) \times \vec{n} + (\vec{k}'' \times \vec{E}_0'') \times \vec{n} \right] - \frac{1}{\mu_1} \left[ (\vec{k}' \times \vec{E}_0') \times \vec{n} \right] = 0 \\
 & (\vec{a} \times \vec{b}) \times \vec{c} = \vec{b}(\vec{a} \cdot \vec{c}) - \vec{a}(\vec{b} \cdot \vec{c}) \\
 & \frac{1}{\mu_0} \left[ \vec{E}_0 (\vec{k} \cdot \vec{n}) - \vec{k} (\vec{E}_0 \cdot \vec{n}) + \vec{E}_0'' (\vec{k}'' \cdot \vec{n}) - \vec{k}'' (\vec{E}_0'' \cdot \vec{n}) \right] - \frac{1}{\mu_1} \left[ \vec{E}_0' (\vec{k}' \cdot \vec{n}) - \vec{k}' (\vec{E}_0' \cdot \vec{n}) \right] = 0 \\
 & \frac{1}{\mu_0} \left( E_0 k \cos i - k E_0 \cos 90 + E_0'' k'' \cos(180 - i) - k'' E_0'' \cos 90 \right) - \frac{1}{\mu_1} \left( E_0' k' \cos r - k' E_0' \cos 90 \right) = 0 \\
 & \frac{1}{\mu_0} \left( E_0 k \cos i - E_0'' k'' \cos i \right) - \frac{1}{\mu_1} \left( E_0' k' \cos r \right) = 0 \\
 k = k'' &= \frac{\omega}{c} \sqrt{\mu_0 \epsilon_0}, k' = \frac{\omega}{c} \sqrt{\mu_1 \epsilon_1} \\
 \frac{1}{\mu_0} \left( E_0 \frac{\omega}{c} \sqrt{\mu_0 \epsilon_0} \cos i - E_0'' \frac{\omega}{c} \sqrt{\mu_0 \epsilon_0} \cos i \right) - \frac{1}{\mu_1} E_0' \frac{\omega}{c} \sqrt{\mu_1 \epsilon_1} \cos r &= 0 \\
 \Rightarrow \sqrt{\frac{\epsilon_0}{\mu_0}} \cos i (E_0 - E_0'') - \sqrt{\frac{\epsilon_1}{\mu_1}} \cos r E_0' &= 0
 \end{aligned}$$

## EK-2

$$\bar{E}_0' - \bar{E}_0'' = \bar{E}_0$$

$$\sqrt{\frac{\epsilon_1}{\mu_1}} \text{Cosr} E_0' + \sqrt{\frac{\epsilon_0}{\mu_0}} \text{Cosi} E_0'' = \sqrt{\frac{\epsilon_0}{\mu_0}} \text{Cosi} E_0$$

$$\bar{E}_0' - \bar{E}_0'' = \bar{E}_0$$

$$-E_0' - \sqrt{\frac{\mu_1 \epsilon_0}{\epsilon_1 \mu_0}} \frac{\text{Cosi}}{\text{Cosr}} E_0'' = -\sqrt{\frac{\mu_1 \epsilon_0}{\epsilon_1 \mu_0}} \text{Cosi} E_0$$

$$-E_0'' \left( 1 + \sqrt{\frac{\mu_1 \epsilon_0}{\epsilon_1 \mu_0}} \frac{\text{Cosi}}{\text{Cosr}} \right) = E_0 \left( 1 - \sqrt{\frac{\mu_1 \epsilon_0}{\epsilon_1 \mu_0}} \frac{\text{Cosi}}{\text{Cosr}} \right)$$

$$\Rightarrow \frac{E_0''}{E_0} = \frac{\sqrt{\frac{\mu_1 \epsilon_0}{\epsilon_1 \mu_0}} \frac{\text{Cosi}}{\text{Cosr}} - 1}{\sqrt{\frac{\mu_1 \epsilon_0}{\epsilon_1 \mu_0}} \frac{\text{Cosi}}{\text{Cosr}} + 1} = \frac{\sqrt{\mu_1 \epsilon_0} \text{Cosi} - \sqrt{\epsilon_1 \mu_0} \text{Cosr}}{\sqrt{\mu_1 \epsilon_0} \text{Cosi} + \sqrt{\epsilon_1 \mu_0} \text{Cosr}}$$

$$\Rightarrow \frac{\sqrt{\frac{\mu_0}{\mu_1}} \left( \sqrt{\mu_1 \epsilon_0} \text{Cosi} - \sqrt{\epsilon_1 \mu_0} \text{Cosr} \right)}{\sqrt{\frac{\mu_0}{\mu_1}} \left( \sqrt{\mu_1 \epsilon_0} \text{Cosi} + \sqrt{\epsilon_1 \mu_0} \text{Cosr} \right)} = \frac{\sqrt{\epsilon_0 \mu_0} \text{Cosi} - \mu_0 \sqrt{\frac{\epsilon_1}{\mu_1}} \text{Cosr}}{\sqrt{\epsilon_0 \mu_0} \text{Cosi} + \mu_0 \sqrt{\frac{\epsilon_1}{\mu_1}} \text{Cosr}}$$

$$\text{Cosr} = \sqrt{1 - \text{Sin}^2 r}$$

$$\Rightarrow \frac{E_0''}{E_0} = \frac{n_0 \text{Cosi} - \mu_0 \sqrt{\frac{\epsilon_1}{\mu_1}} \sqrt{1 - \text{Sin}^2 r}}{n_0 \text{Cosi} + \mu_0 \sqrt{\frac{\epsilon_1}{\mu_1}} \sqrt{1 - \text{Sin}^2 r}}$$

$$\frac{\text{Sinr}}{\text{Sinr}} = \frac{n_1}{n_0} \Rightarrow \text{Sinr} = \frac{n_0}{n_1} \text{Sinr}$$

$$\Rightarrow \frac{E_0''}{E_0} = \frac{n_0 \text{Cosi} - \mu_0 \sqrt{\frac{\epsilon_1}{\mu_1}} \sqrt{1 - \frac{n_0^2}{n_1^2} \text{Sin}^2 i}}{n_0 \text{Cosi} + \mu_0 \sqrt{\frac{\epsilon_1}{\mu_1}} \sqrt{1 - \frac{n_0^2}{n_1^2} \text{Sin}^2 i}} = \frac{n_0 \text{Cosi} - \mu_0 \sqrt{\frac{\epsilon_1}{\mu_1}} \frac{1}{n_1} \sqrt{n_1^2 - n_0^2} \text{Sin}^2 i}{n_0 \text{Cosi} + \mu_0 \sqrt{\frac{\epsilon_1}{\mu_1}} \frac{1}{n_1} \sqrt{n_1^2 - n_0^2} \text{Sin}^2 i}$$

$$\Rightarrow \frac{E_0''}{E_0} = \frac{n_0 \text{Cosi} - \mu_0 \sqrt{\frac{\epsilon_1}{\mu_1}} \frac{1}{\sqrt{\epsilon_1 \mu_1}} \sqrt{n_1^2 - n_0^2} \text{Sin}^2 i}{n_0 \text{Cosi} + \mu_0 \sqrt{\frac{\epsilon_1}{\mu_1}} \frac{1}{\sqrt{\epsilon_1 \mu_1}} \sqrt{n_1^2 - n_0^2} \text{Sin}^2 i} = \frac{n_0 \text{Cosi} - \frac{\mu_0}{\mu_1} \sqrt{n_1^2 - n_0^2} \text{Sin}^2 i}{n_0 \text{Cosi} + \frac{\mu_0}{\mu_1} \sqrt{n_1^2 - n_0^2} \text{Sin}^2 i}$$

### EK-3

$$\begin{aligned}
 & \bar{E}_0' - \bar{E}_0'' = \bar{E}_0 \\
 & \frac{\sqrt{\frac{\epsilon'}{\mu'}} \text{Cosr} E_0' + \sqrt{\frac{\epsilon}{\mu}} \text{Cosi} E_0''}{\bar{E}_0' - \bar{E}_0''} = \sqrt{\frac{\epsilon}{\mu}} \text{Cosi} E_0 \\
 & \bar{E}_0' - \bar{E}_0'' = \bar{E}_0 \\
 & \frac{\sqrt{\frac{\mu\epsilon'}{\epsilon\mu'} \frac{\text{Cosr}}{\text{Cosi}}} E_0' + E_0''}{\sqrt{\frac{\mu\epsilon'}{\epsilon\mu'} \frac{\text{Cosr}}{\text{Cosi}}}} = E_0 \\
 & E_0' \left( 1 + \sqrt{\frac{\mu\epsilon'\epsilon}{\epsilon\mu'\mu} \frac{\text{Cori}}{\text{Cosr}}} \right) = 2E_0 \\
 & \Rightarrow \frac{E_0'}{E_0} = \frac{2}{1 + \sqrt{\frac{\mu\epsilon'}{\epsilon\mu'} \frac{\text{Cori}}{\text{Cosr}}}} = \frac{2\sqrt{\epsilon\mu'} \text{Cosi}}{\sqrt{\epsilon\mu'} \text{Cosi} + \sqrt{\mu\epsilon'} \text{Cosr}} \\
 & \Rightarrow \frac{E_0'}{E_0} = \frac{\sqrt{\frac{\mu}{\mu'} (2\sqrt{\epsilon\mu'} \text{Cosi})}}{\sqrt{\frac{\mu}{\mu'} (\sqrt{\epsilon\mu'} \text{Cosi} + \sqrt{\mu\epsilon'} \text{Cosr})}} = \frac{2n \text{Cosi}}{n \text{Cosi} + \sqrt{\frac{\mu}{\mu'}} \sqrt{\mu\epsilon'} \text{Cosr}} \\
 & \Rightarrow \frac{E_0'}{E_0} = \frac{2n \text{Cosi}}{n \text{Cosi} + \sqrt{\frac{\mu}{\mu'}} \sqrt{\mu\epsilon'} \sqrt{1 - \sin^2 r}} = \frac{2n \text{Cosi}}{n \text{Cosi} + \mu \sqrt{\frac{\epsilon'}{\mu'}} \sqrt{1 - \frac{n^2}{n'^2} \sin^2 i}} \\
 & \Rightarrow \frac{E_0'}{E_0} = \frac{2n \text{Cosi}}{n \text{Cosi} + \mu \sqrt{\frac{\epsilon'}{\mu'}} \frac{1}{n'} \sqrt{n'^2 - n^2 \sin^2 i}} = \frac{2n \text{Cosi}}{n \text{Cosi} + \mu \sqrt{\frac{\epsilon'}{\mu'}} \frac{1}{\sqrt{\epsilon'\mu'}} \sqrt{n'^2 - n^2 \sin^2 i}} \\
 & \Rightarrow \frac{E_0'}{E_0} = \frac{2n \text{Cosi}}{n \text{Cosi} + \mu \frac{\sqrt{n'^2 - n^2 \sin^2 i}}{\sqrt{\epsilon'\mu'}}}
 \end{aligned}$$

## **ÖZGEÇMİŞ**

1978 yılında Ankara'da doğdu. İlk, orta ve lise öğrenimini Ankara'da tamamladı. 1995 yılında girdiği Ankara Üniversitesi Mühendislik Fakültesi Fizik Mühendisliği Bölümü'nden Haziran 1999'da mezun oldu. 2004 yılında Ankara Üniversitesi Fen Bilimleri Enstitüsü Fizik Mühendisliği Anabilim Dalında Yüksek Lisans Öğrenimini tamamladı. Halen Millî Savunma Bakanlığı Teknik Hizmetler Dairesi Başkanlığında Fizik Mühendisi olarak görev yapmaktadır.